

MINISTÈRE DE L'ENSEIGNEMENT SUPERIEUR  
ET DE LA RECHERCHE SCIENTIFIQUE  
U. S. T. H. B.

1/81

1 ex

## **ECOLE NATIONALE POLYTECHNIQUE**

### **DEPARTEMENT HYDRAULIQUE**

# **PROJET DE FIN D'ETUDES**

الجامعة الوطنية للهندسة  
VERIFICATION EXPERIMENTALE DE LA THEORIE  
DU RESSAUT HYDRAULIQUE  
CAS D'UN CANAL A PROFIL CIRCULAIRE  
ECOLE NATIONALE POLYTECHNIQUE  
BIBLIOTHEQUE

Proposé par :

Mr. G. LAPRAY  
( maître de conférence )

Présenté par :

B. ACHOUR  
M. MEZIANE

## Dédicaces

à mon père, à ma mère  
à mes frères et soeurs  
à toute la famille  
à tous mes amis et  
ceux qui m'ont aidé.

M. MEZIANE -

بسم الله الرحمن الرحيم  
الحمد لله رب العالمين

à la mémoire de mon père,  
à ma mère,  
à mes frères et soeurs,  
à toute la famille,  
à tous mes amis et ceux  
qui m'ont aidé.

b. ACHOUR -

## Remerciements

La présente étude a été réalisée sous la direction de Monsieur G. LAPRAY maître de conférence à l'école nationale polytechnique d'Alger.

Nous nous permettons de lui exprimer toute notre gratitude pour les grands services qu'il nous a rendus et les conseils éclairés qu'il nous a donnés pour mener à bonne fin nos recherches. Qu'il soit assuré de notre sincère amitié et notre profond respect.

Nous remercions vivement ceux qui nous ont aidé et tous les professeurs qui ont contribué à notre formation.

## SOMMAIRE

Introduction .

chap I : Rappels -

1. Théorie de la longueur fluidodynamique .
2. Paramètres dimensionnels .
3. Ecoulement en régime de transition .
4. Similitude .

chap II : Etude d'un écoulement en canal à profil circulaire -

1. Caractéristiques géométriques d'une section circulaire .
2. Paramètres dimensionnels du profil circulaire .
3. Ecoulement en régime critique .
  - Organigramme -
  - Programme -
4. Etude du rasant .
  - Organigramme -
  - Programme -
5. Profil en long de la surface libre .
  - Organigramme .
  - Programme .

chap. III : Détermination de la rugosité du matériau utilisé .

1. Débitmètre à Segment .
  - Principe .
  - étalonnage .

2. Présentation du dispositif de mesure.
3. Détermination de la rugosité équivalente.
  - calcul de la rugosité en application de la formule de COLEBROOK.
  - choix de la rugosité moyenne.
  - variation de la rugosité en fonction du nombre de Reynolds.
4. - Programme applicable au profil circulaire plein.
  - Organigramme.
  - Programme.

#### chap. IV \* Expérimentation et analyse des résultats -

1. Rapports de similitude entre le modèle utilisé et le modèle  $D=1\text{m}$ .
2. choix de la similitude.
3. conception et dimensionnement du modèle.
4. description de l'installation.

#### \* Manipulation

##### 1 Résultats théoriques et expérimentaux

- Demous.
- Ressaut

##### 2 Remarques.

##### 3 Conclusion.

D	diamètre	m	dimension	dimension hydrologique	m	H	charge totale	m	AH	hauteur de charge	m	E	épaisseur de plan d'eau	m	R	soien	m	K	profondeur critique	m	H	charge totale	m	Z	épaisseur équivalente de gaufrette	m	C	effet volume	$m^3$	A	aire d'une section	$m^2$	V	volume	$m^3$	z	vitesse moyenne	$m.s^{-1}$	P	friction ! friction mouette	Nm <sup>2</sup> /m	P	friction	F			
L <sub>x</sub>	longueurs	m	différence de hauteur	hauteurs uniques	m	A	dimension linéaire unique	m	a	dimensions linéaires uniques	m	e	épaisseur de plan d'eau	m	R	soien	m	K	profondeur critique	m	H	charge totale	m	H	hauteur de charge	m	Z	épaisseur équivalente de gaufrette	m	C	effet volume	$m^3$	A	aire d'une section	$m^2$	V	volume	$m^3$	z	vitesse moyenne	$m.s^{-1}$	P	friction ! friction mouette	Nm <sup>2</sup> /m	P	friction	F
D <sub>g</sub>	diamètre hydrologique	m	profondeur, hauteur hypothétique	hauteurs uniques	m	H	profondeur, hauteur hypothétique	m	H	hauteur de charge	m	E	épaisseur de plan d'eau	m	R	soien	m	K	profondeur critique	m	H	charge totale	m	Z	épaisseur équivalente de hauteur uniques	m	C	effet volume	$m^3$	A	aire d'une section	$m^2$	V	volume	$m^3$	z	vitesse moyenne	$m.s^{-1}$	P	friction ! friction mouette	Nm <sup>2</sup> /m	P	friction	F			
D	diamètre	m	soien	m	R	soien	m	K	profondeur critique	m	H	charge totale	m	Z	épaisseur équivalente de hauteur uniques	m	C	effet volume	$m^3$	A	aire d'une section	$m^2$	V	volume	$m^3$	z	vitesse moyenne	$m.s^{-1}$	P	friction ! friction mouette	Nm <sup>2</sup> /m	P	friction	F													

-Symboles utilisés et leurs unités

$J_u$	pente géométrique	sans unité
$J_p$	pente piezométrique	-"-
$\gamma$	perde de charge par unité de longueur.	-"-
$F$	nombre de Froude	-"-
$M$	nombre de Mach	-"-
$R$	nombre de Reynolds	-"-
$\alpha$	facteur de correction de l'énergie cinétique	-"-
$\beta$	facteur de correction de la quantité de mouvement	-"-
$\xi$	paramètre de forme d'un profil circulaire partiellement occupé.	-"-
$\lambda$	facteur de transition	-"-
$\lambda$	longueur fluidodynamique	$m$
$\nu$	viscosité cinématique	$m^2 \cdot s^{-1}$
$\ell$	échelle linéaire d'un modèle réduit	

de façon générale les hydrocarbures établis peuvent être représentés comme suit :

$y = f(x)$ ; laquelle sagit de déterminer le point d'intersection  $x$ , à distance  $y$  du point  $x$  pour deux variables  $x$  et  $y$  telles que

$y = f(x)$ ; laquelle détermine les deux variables  $x$  et  $y$  correspondant à un point donné  $x$ , à distance  $y$  du point  $x$ .

TI 59.

La solution de cette équation passe par l'application d'un algorithme qui consiste à déterminer les racines d'une équation polynomiale à l'aide de méthodes numériques successives. Ces méthodes sont basées sur une approximation successive des racines de l'équation. La méthode utilisée est la méthode d'Newton-Raphson. Elle consiste à calculer la fonction à l'aide d'un pas fixe et de la soustraire de la valeur précédente. La différence entre la fonction et la valeur précédente est alors utilisée pour ajuster la valeur suivante. La suite de ces ajustements continue jusqu'à ce que la différence entre la valeur actuelle et la valeur précédente devienne infiniment petite. La méthode d'Newton-Raphson peut être appliquée à une grande variété de fonctions, mais elle ne peut pas être appliquée à certaines fonctions, telles que les fonctions périodiques ou les fonctions discontinues.

La résolution des équations hydrocarbures nécessite souvent de recourir à des méthodes numériques et itératives pour obtenir une solution précise. Ces méthodes sont basées sur l'application d'un algorithme itératif qui consiste à déterminer les racines d'une équation polynomiale à l'aide d'un pas fixe et de la soustraire de la valeur précédente. La différence entre la valeur actuelle et la valeur précédente est alors utilisée pour ajuster la valeur suivante. La suite de ces ajustements continue jusqu'à ce que la différence entre la valeur actuelle et la valeur précédente devienne infiniment petite. La méthode d'Newton-Raphson peut être appliquée à une grande variété de fonctions, mais elle ne peut pas être appliquée à certaines fonctions, telles que les fonctions périodiques ou les fonctions discontinues.

## Introduction

La théorie présentée dans cet ouvrage et expérimentée dans le cadre de notre projet, a été élaborée par Monsieur G. LAPRAY maître de conférence à l'école nationale polytechnique d'Alger en complément au concept de la longueur fluidodynamique qui fut trouvé par le même auteur. Il s'agit de l'étude du ressaut dans une conduite circulaire partiellement mouillée, qui fait partie d'une série de Solutions au problème relatif à ce phénomène. Le but de notre travail est la vérification expérimentale de la dite théorie sur un écoulement permanent non uniforme. Les Solutions apportées par différents auteurs concernent le plus souvent les écoulements en régime turbulent rugueux correspondant à la zone droite supérieure du diagramme de Moody, et qui ont en effet un intérêt pratique considérable.

Cependant, dans notre cas, l'écoulement en régime de transition revêt une non moins grande importance, dans les études en laboratoire surtout.

En vue de tenir compte de la particularité

-de ce régime, l'auteur a délibérément abandonné l'emploi des anciennes formules empiriques encore utilisées par de nombreux hydrauliciens, pour le calcul des écoulements à surface libre, car les dites formules ne tiennent pas compte de l'existence du régime de transition où l'effet de la viscosité ne peut pas être laissé hors considération. Par ailleurs l'indice de la nature de la paroi intervenant dans ces formules donne lieu à beaucoup d'incertitude.

## Généralités :

La résolution des problèmes d'hydrauliques nécessite parfois le recours à des calculs considérables et inévitables si l'on ne veut pas utiliser les méthodes graphiques non moins longues et d'une précision parfois insuffisante. Lorsque le temps de calcul peut être réduit par l'utilisation d'un calculateur programmable, la méthode de calcul par approximations successives devient incontestablement la plus commode.

Tous les problèmes rencontrés dans la présente étude ont été programmés pour un "calculateur programmable du type TI 59".

De façon générale les programmes établis peuvent être présentés comme suit : Soient deux variables  $x$  et  $y$  telles que  $y = f(x)$ ; lorsqu'il s'agit de déterminer  $y$ , connaissant  $x$ , le problème est vite résolu. Dans le cas où l'on cherche  $x$  connaissant  $y$ , la difficulté est qu'il est souvent difficile voire impossible

- d'exprimer  $x$  en fonction de  $y$  tant que la fonction  $f(x)$  est compliquée.

La solution du problème est rendue aisée si le degré de dépendance des deux paramètres est connu. Soit :

$$y = ax^n + bx^{n-1} + \dots$$

Le trace de  $y=f(x)$  en coordonnées logarithmiques montre que la pente de la courbe est généralement variable. Nous admettrons en première approximation que la courbe représentée par  $y = ax^n + bx^{n-1} + \dots$ , se comporte comme celle représentée par  $y = ax^n$ . Ainsi quand  $y$  varie de  $\Delta y$ ,  $x$  doit varier de  $\Delta y^{\frac{1}{n}}$ ; en posant  $\vartheta = \frac{1}{n}$ , on écrit que pour deux paramètres  $x_1$  et  $x_2$  correspondants à  $y_1$  et  $y_2$ ,  $\frac{x_1}{x_2} = \left(\frac{y_1}{y_2}\right)^{\vartheta}$ ; donc, connaissant une valeur de  $x_1$  (donc de  $y_1$ ),  $x_2$  en première approximation sera :

$$x_2 = x_1 \left(\frac{y_2}{y_1}\right)^{\vartheta}$$

Cette relation permet de déterminer le paramètre  $x$  par approximations successives.

CHAP I.

## Rappels sur la théorie de la longueur fluidodynamique.

Il est démontré que chacune des dimensions linéaires du profil d'un fluide en écoulement incompressible, ou pouvant être considéré comme tel en raison d'un faible gradient de pression, passant par une conduite à section constante quelconque, peut être écrite comme le produit de trois facteurs :

- le premier, ayant la dimension d'une longueur, est appelé longueur fluidodynamique et désigné par  $\Lambda$ .
- le second facteur appelé "paramètre de dimension" est un nombre sans dimension qui ne dépend que de la forme du profil fluide. Il est désigné par le même symbole que la dimension prise et distingué par un indice "o".
- le troisième facteur est appelé "facteur de transition" et désigné par le symbole  $\lambda$ , c'est un paramètre sans dimension, fonction de la rugosité -

relative  $\epsilon/D_h$  et du nombre de Reynolds.  
l'équation fondamentale de la théorie  
de la longueur fluidodynamique est:

$$a = \lambda a_0 \lambda.$$

(a peut représenter un diamètre,  
une profondeur d'eau, la largeur  
d'un plan d'eau etc... ).

La théorie de la longueur fluidodynamique admet comme hypothèse que le régime de l'écoulement est turbulent rugueux; elle est basée sur la formule générale des écoulements permanents uniformes incompressibles, dite de Darcy-WEISSBACH :  $J = \frac{f}{D_h} \cdot \frac{v^2}{2g}$  avec  $D_h = 4R_m$

et de la formule de NIKURADSE :

$$f^{-\frac{1}{2}} = 1,14 - 0,86 \ln \frac{\epsilon}{D_h}$$

Dans la démonstration de la théorie,  
l'auteur a eu pour idée de mettre  
le coefficient de frottement  $f$  sous la  
forme :  $f^{-\frac{1}{2}} = \beta D_h^{\vartheta}$ .

Les valeurs de  $\vartheta$  et de  $\beta$  dépendent essentiellement de la rugosité  $\epsilon$  de la conduite et varient légèrement en fonction des limites du domaine de  $D_h$  considéré.

Si le domaine considéré se réduit à une seule valeur bien déterminée du diamètre hydraulique, on tire la valeur de  $\vartheta$  :

$$\vartheta = \frac{d \log f}{d \log D_h}^{-\frac{1}{2}} = 0,86 \cdot f^{\frac{1}{2}}$$

Ceci permet de guider le choix d'une valeur de  $\vartheta$  : on attribue à  $\vartheta$  la valeur 0,15 correspondant à sa moyenne

$$\vartheta_{moyen} = 0,15 \quad \text{ainsi}$$

$$\beta(\epsilon, D_h) = \frac{1}{D_h^{0,15} \sqrt{f}} \quad \text{d'où le}$$

gradient de la perte de charge

$$J = \frac{f}{D_h} \cdot \frac{v^2}{2g} = \frac{1}{2g D_h^{1,3}} \cdot \frac{Q^2}{A^2 \beta^2} \quad \text{ou bien :}$$

$$Q = 2^{1,8} \sqrt{g} A \beta \sqrt{J} R_m^{0,65}$$

## Definitions :

$$1) \quad \Delta C = 2^{1,8} \sqrt{g} \beta = \left( 10,094 - 7,6148 \ln \frac{\epsilon}{D_h} \right) \left( \frac{4}{D_h} \right)^{0,15}$$

ainsi  $Q = \Delta C A \sqrt{J} R_m^{0,65}$

$$2) \quad R_{m_0} = \left( \frac{R_m^2}{A} \right)^{1/2,65} \quad \text{soit} \quad A = \frac{R_m^2}{R_{m_0}^{2,65}}$$

ainsi :  $Q = \Delta C \left( \frac{R_m}{R_{m_0}} \right)^{2,65} \cdot \sqrt{J}$

$$3) \quad \Lambda = \frac{R_m}{R_{m_0}} = \frac{a}{a_0} \quad (-a \text{ est une dimension géométrique du profil considéré})$$

ainsi :  $Q = \Delta C \Lambda^{2,65} \sqrt{J} \quad \text{d'où}$

la longueur fluidodynamique :

$$\Lambda = \left( \frac{Q}{\Delta C \sqrt{J}} \right)^{1/2,65}$$

On a donc :

$$\frac{Q}{\sqrt{J}} = 2^{1,8} \sqrt{g} D_{h_0}^{-0,15} \left( 1,14 - 0,86 \ln \frac{\epsilon}{D_{h_0} \Lambda} \right) \Lambda^{2,5}$$

## Approximations :

on constate que la formule précédente n'est pas indépendante du profil

En application de la formule précédente il est possible de déterminer la valeur de  $\frac{Q}{\sqrt{J}}$  en fonction de  $\varepsilon$  et de  $\lambda$ ,

si  $D_{h_0}$  était constant ; or  $D_{h_0}$  varie entre 1,4 et 2 selon le type de profil et le niveau de remplissage.

Si l'on admet que  $D_{h_0} = 1,67$  qui représente la moyenne géométrique de 1,4 à 2, on obtient une valeur de  $\frac{Q}{\sqrt{J}}$  qui sera affectée d'une erreur

$$\text{relative } \delta\left(\frac{Q}{\sqrt{J}}\right) = \frac{\Delta(Q/\sqrt{J})}{Q/\sqrt{J}} ;$$

Cette erreur a été étudiée pour différentes valeurs de la rugosité relative et le maximum est atteint pour  $\varepsilon/D_h = 0,05$  :

$$\delta\left(\frac{Q}{\sqrt{J}}\right) = 4,85 \% \Delta D_{h_0} \text{ avec}$$

$$\Delta D_{h_0} = 2 - 1,67 = 0,33 .$$

Soit :

$$\delta\left(\frac{Q}{\sqrt{J}}\right) = 4,88 \% \Delta D_{h_0} = 1,61 \%$$

Avec  $D_{h_0} = 1,67$ , on obtient :

$$\frac{Q}{\sqrt{J}} = (15,96 - 8,681 \ln \frac{\varepsilon}{\lambda}) \lambda^{2,5}$$

$$\Lambda = \left[ \frac{Q/\sqrt{J}}{15,96 - 8,681 \ln \frac{\varepsilon}{\Lambda}} \right]^{1/2,5} \quad \text{ou bien}$$

$$\Lambda = 0,15907 \varepsilon \cdot \exp \left( + \frac{Q/\sqrt{J}}{8,681 \Lambda^{2,5}} \right)$$

on tire :

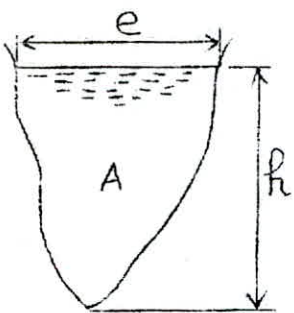
$$\varepsilon = \frac{\Lambda}{0,15907} \exp \left( - \frac{Q/\sqrt{J}}{8,681 \Lambda^{2,5}} \right)$$

### Signification physique de la longueur fluidodynamique

Il est démontré que la signification physique de la longueur fluidodynamique est donnée par la longueur  $\Lambda = h = b$  du côté de la tranche quadratique hachurée (carré "L") découpée dans une section droite quelconque d'un courant permanent à profondeur constante passant sur un plan incliné indéfiniment large, véhiculant un débit  $Q$  passant par le carré "L" soit un débit unitaire  $q = \frac{Q}{\Lambda}$ .



## Paramètres dimensionnels -



La figure ci-contre, représente un profil quelconque de section mouillée A. Soient  $P$ ,  $D_h$ ,  $e$ ,  $h$  respectivement le périmètre mouillé, le diamètre hydraulique, la largeur du plan d'eau et la profondeur d'eau. Désignons par  $a$  une dimension linéaire quelconque caractéristique de la section A étudiée. Par définition,  $P_1$  est le périmètre mouillé pour  $a=1$  et  $A_1$  la section mouillée pour  $a=1$ ; quelle que soit la dimension linéaire choisie  $a$ , on a :

$$P = a \cdot P_1$$

$$\text{et } A = a^2 \cdot A_1$$

La théorie de la longueur fluidodynamique donne le paramètre dimensionnel de  $a$  :

$$a_0 = \frac{P_1^{0,65/2,65}}{A_1^{1,65/2,65}} \quad \text{ou} \quad a_0 = \frac{P_1^{0,245}}{A_1^{0,623}}$$

$a_0$  peut représenter les paramètres dimensionnels suivants :  $h_0$ ,  $e_0$ ,  $D_{h_0}$ ,  $A_0$ ,  $P_0$  etc...

$A_0$ ,  $4/P_0$ ,  $D_{h_0}$  présentent un extremum (maximum) pour une valeur du paramètre de forme du profil considéré.

### Calcul des conditions optimales

$$\cdot A_0 = a_0^2 \cdot A_1 = \frac{P_1^{2 \times 0,65 / 2,65}}{A_1^{2 \times 1,65 / 2,65}} \cdot A_1 = P_1^{\frac{2 \times 0,65}{2,65}} \cdot A_1^{\frac{2,65 - 2 \times 1,65}{2,65}}$$

$$A_0 = P_1^{2 \times 0,65 / 2,65} \cdot A_1^{-0,65 / 2,65} \quad \text{soit:}$$

$$A_0 = \left( \frac{P_1}{A_1} \right)^{\frac{0,65}{2,65}}$$

Soit  $x$  un paramètre de forme; on a:

$$\frac{d}{dx} A_0 = 0 \quad \text{c'est à dire:}$$

$$\frac{d}{dx} \left( \frac{P_1^2}{A_1} \right) = 0$$

$$\cdot \frac{4}{P_0} = 4 \left( \frac{P_1^2}{A_1} \right)^{-\frac{1,65}{2,65}}$$

$$\frac{d}{dx} \left( \frac{4}{P_0} \right) = 0 \quad \text{entraîne} \quad \frac{d}{dx} \left( \frac{P_1^2}{A_1} \right) = 0$$

$$\cdot D_{h_0} = 4 \frac{A_0}{P_0} = 4 \left( \frac{P_1^2}{A_1} \right)^{\frac{0,65}{2,65}} \cdot \left( \frac{P_1^2}{A_1} \right)^{-\frac{1,65}{2,65}} = 4 \left( \frac{P_1^2}{A_1} \right)^{-\frac{1}{2,65}}$$

$$\frac{d}{dx} D_{h_0} = 0 \quad \text{entraîne} \quad \frac{d}{dx} \left( \frac{P_1^2}{A_1} \right) = 0$$

Le maximum de  $A_0$ ,  $4/P_0$ ,  $D_{P_0}$  est obtenu pour une même valeur du paramètre de forme  $x$ .

$$\frac{d}{dx} \left( \frac{P_1^2}{A_1} \right) = \frac{2P_1}{A_1} \frac{dP_1}{dx} - \frac{P_1^2}{A_1^2} \frac{dA_1}{dx} = 0$$

Soit :

$$2A_1 \frac{d}{dx} P_1 = P_1 \frac{d}{dx} A_1$$

## Produits adimensionnels

Les méthodes d'analyse dimensionnelle entre autres la théorie des PI de VASHY-BUCKINGHAM, ont permis d'établir pour un écoulement de fluide (compressible ou non) des groupes, parmi les dimensions fondamentales intervenant dans un phénomène, appelés paramètres adimensionnels ou produits adimensionnels; les plus importants de ces produits sont les suivants :

a) Le coefficient de pression  $C_p = \frac{\Delta P}{\frac{1}{2} \rho v^2}$

qui exprime la relation entre les forces dues à la pression et les forces dues à l'inertie. En canaux découverts, la compressibilité ainsi que la tension superficielle n'ont en général qu'une très faible influence sur les conditions d'un écoulement.

b) Le nombre de Reynolds  $R = \frac{v D h}{\mu}$

( $\frac{\rho v L}{\mu}$ ) caractérise la relation entre les forces dues à l'inertie et les forces dues à la viscosité.

- c) Le nombre de Froude  $F = \frac{v^2}{gL}$  exprime la relation entre les forces d'inertie et les forces dues à la pesanteur.
- d) Le nombre de Weber  $W = \frac{\rho L v^2}{\sigma}$  exprime la relation entre les forces dues à l'inertie et les forces dues à la tension superficielle.
- e) Le nombre de MACH  $M = \frac{v}{\sqrt{k/\rho}}$  exprime la relation entre les forces dues à l'inertie et les forces dues à l'élasticité. C'est le rapport de la vitesse du fluide à celle du son dans le milieu.

## Écoulement en régime de transition -

### Couche limite

Dans le domaine, situé au voisinage immédiat de la paroi, le gradient des vitesses est élevé et entraîne l'existence d'une épaisseur  $\delta$  de liquide dans laquelle la vitesse varie très rapidement d'une valeur nulle au contact de la paroi à une valeur finie  $v$  qui diffère d'au moins 1% de la vitesse prise dans le corps de l'écoulement ; cette épaisseur est appelée couche limite.

### Interprétation -

La transition est essentiellement caractérisée par le fait que la hauteur des aspérités étant de l'ordre de grandeur de l'épaisseur de la couche limite laminaire, on voit intervenir simultanément les caractéristiques géométriques de la rugosité  $\epsilon$ , et le nombre de Reynolds  $R$ .

Par conséquent ce régime est caractérisé par le rapport  $\epsilon/\delta$ .

on classe un régime de transition par un rapport  $\epsilon/D_h$  situé entre 0,1 et 6. Lorsque la hauteur des aspérités est très faible, la couche limite empêche son influence sur l'écoulement et le régime est dit Hydrauliquement lisse.

### Facteur de transition.

Dans la zone centrale du diagramme de Moody, -dite zone de transition, le coefficient de frottement  $f$  n'a pas une valeur constante; il est fonction de la rugosité relative  $\epsilon/D_h$  et du nombre de Reynolds :  $f = f(\epsilon/D_h, R)$ .

Le facteur de transition, défini dans la théorie de la longueur fluidodynamique fonction des mêmes variables intervient dans les trois catégories de problèmes suivants :

Le premier, se présente lorsque ce sont les dimensions du profil d'une conduite que l'on cherche à déterminer en fonction des autres variables connues. Pour trouver, dans ce premier cas, la fonction déterminant le facteur de transition, on

écrit l'équation de CHEZY  $v = C \sqrt{R_m J}$ , en tenant compte de la continuité, sous la forme :

$$Q = A \sqrt{\frac{2g}{f}} \sqrt{D_h \cdot J}$$

en éliminant les dimensions linéaires et quadratiques entre cette équation et la formule de Darcy - WEISSBACH  $J = \frac{f}{D_h} \cdot \frac{v^2}{2g}$  on tire :

$$Q = \lambda^{5/2} \Lambda^{5/2} A_0 f^{-1/2} \sqrt{2g D_{h_0} \cdot J} \quad \text{d'où}$$

$$\lambda \Lambda = f^{1/5} \left( \frac{Q^2}{2g A_0^2 D_{h_0} J} \right)^{1/5} \quad (*)$$

avec  $\lambda \Lambda$  et les paramètres dimensionnels, ne dépendant que de la forme du profil, on a toutes les dimensions de la section recherchée :

$$D_h = \lambda \Lambda D_{h_0}, \quad h = \lambda \Lambda h_0, \quad A = \lambda^2 \Lambda^2 A_0$$

En vue de déterminer  $\lambda$  comparons les dimensions ci-dessus à celles d'un profil, géométriquement semblable au premier, capable de véhiculer le même débit  $Q$  du même fluide, moyennant le même gradient  $J$  de la perte de charge et pour lequel le coefficient de frottement  $f$  garderait sa valeur constante  $f_r$ , cor-

respondant au régime turbulent rugueux.  
dans le domaine tout entier des écoulements pour lesquels :

$$3500 \leq R \leq R_{\text{limite}}$$

c'est à dire aussi en zone de transition.  
En appliquant la formule (\*) à ce profil hypothétique on tire :

$$\lambda = f_r^{1/5} \left( \frac{Q^2}{2gA_0^2 D_{h_0} J} \right)^{1/5} \quad (**)- sachant que \lambda=1$$

en régime turbulent rugueux.

En divisant (\*) par (\*\*) on tire :

$$\lambda = \left( \frac{f}{f_r} \right)^{1/5}$$

- dans cette dernière équation le dénominateur  $f_r$  ne dépend que de la rugosité relative  $\epsilon/D_{h_0}$  de la conduite hypothétique avec  $D_{h_0} = \lambda D_{h_0}$  le diamètre hydraulique.

- Le numérateur  $f$  constitue la valeur réelle du coefficient de frottement que l'on obtient par la méthode des approximations successives couramment utilisée

dans les applications du diagramme de Moody pour la détermination de  $f$  en zone de transition :

en première approximation on débute avec la rugosité relative du profil hypothétique  $\epsilon/D_{hr}$  déjà déterminée en application de la formule  $D_{hr} = 1 D_{ho}$ , en vue de repérer  $f_r$  dans le diagramme de Moody. Le nombre de Reynolds correspondant à cet écoulement passant par le profil hypothétique est défini par

$$R_r = \frac{v_r D_{hr}}{\nu}$$

avec  $A = \lambda^2 A_0$  et  $v_r = \frac{Q}{A} = \frac{Q}{\lambda^2 A_0}$  on tire :

$$R_r = \frac{Q D_{hr}}{\lambda A_0} \quad \text{ou encore en considé-}$$

rant que par définition :  $D_{hr} = \frac{4 A_0}{P_0}$   
on obtient :

$$R_r = \frac{Q}{\lambda} \cdot \frac{4}{P_0} \cdot \frac{1}{\nu}$$

$R_r$  et  $\epsilon/D_{hr}$  déterminent dans le diagramme de Moody un point dont l'ordonnée  $f' \geq f_r$  constitue une valeur mieux rapprochée à la réalité du coefficient de frottement, permettant de dé-

déterminer :

- une première valeur approximative du facteur de transition :

$$\lambda' = \left( \frac{f'}{f_r} \right)^{1/5}$$

- et des valeurs mieux rapprochées à la réalité de la rugosité relative :

$$\frac{\varepsilon}{D_h} = \frac{\varepsilon}{D_{h_r}} \cdot \lambda'^{-1}$$

et du nombre de Reynolds :

$$R' = R_r \cdot \lambda'^{-1}$$

avec  $R'$  et  $\frac{\varepsilon}{D_h}$  on repère dans le diagramme de Moody une nouvelle valeur  $f''$  encore mieux rapprochée à la réalité du coefficient de frottement permettant de déterminer :

- une valeur mieux rapprochée à la réalité du facteur de transition :

$$\lambda'' = \left( \frac{f''}{f_r} \right)^{1/5}$$

- et des valeurs encore mieux rapprochées à la réalité de la rugosité relative :

$$\frac{\varepsilon}{D_h} = \frac{\varepsilon}{D_{h_r}} \cdot \lambda''^{-1}$$

et du nombre de Reynolds :

$$R'' = R_r \lambda''^{-1}$$

La valeur précise de  $\lambda$  est atteinte si la différence entre  $f_n$  et  $f_{n-1}$ , reste inférieure à  $0,001 f_n$ ; dans tous les cas cette précision est atteinte au bout de trois essais.

La seconde catégorie de problèmes d'écoulement en régime de transition, nécessitant une autre définition du facteur de transition, correspond au cas où c'est le débit  $Q$  véhiculé par une conduite ayant ses caractéristiques données, que l'on cherche à déterminer, en appliquant l'équation de Darcy-WEISSBACH et l'équation de continuité, le débit réel passant par cette conduite est :

$$Q = A f^{-\frac{1}{2}} \sqrt{2g D_h \cdot J} \quad (1)$$

et le débit hypothétique que l'on obtient en supposant que le régime de l'écoulement passant par ce même profil reste turbulent rugueux est :

$$Q_r = A f_r^{-\frac{1}{2}} \sqrt{2g D_h \cdot J} \quad (2)$$

en divisant (1) par (2) on tire :

$$Q = \left( \frac{f}{f_r} \right)^{-\frac{1}{2}} \cdot Q_r \quad (3)$$

Dans cette dernière équation :

- le dénominateur  $f_r$  ne dépend que de la rugosité relative  $\epsilon/D_{hr}$ , bien déterminée de la conduite, sa valeur peut être repérée dans la zone droite supérieure du diagramme de Moody.

- le numérateur  $f$  constitue la valeur réelle du coefficient de frottement que l'on obtient par la méthode des approximations successives couramment utilisée dans les applications du diagramme de Moody pour la détermination de  $f$  en zone de transition:

en première approximation on calcule, en application de (2) la valeur  $Q_r$  du débit hypothétique et le nombre de Reynolds hypothétique  $R_r$  y correspondant. Avec  $R_r$  et avec la valeur invariable de  $\epsilon/D_{hr}$  on repère dans le diagramme de Moody une valeur  $f'$  mieux rapprochée à la réalité du coefficient de frottement et on tire en application de (3) :

$$Q' = \left( \frac{f'}{f_r} \right)^{-\frac{1}{2}} \cdot Q_r$$

$$\text{et : } R' = \left( \frac{f'}{f_r} \right)^{-\frac{1}{2}} \cdot R_r$$

avec  $R'$  et avec la valeur invariable de la rugosité  $\epsilon/D_h$  on repère dans le diagramme de Moody une valeur  $f''$ , encore mieux rapprochée à la réalité, du coefficient de frottement et des valeurs encore mieux rapprochées à la réalité du débit et du nombre de Reynolds :

$$Q'' = \left( \frac{f''}{f_r} \right)^{-\frac{1}{2}} \cdot Q_r$$

$$\text{et } R'' = \left( \frac{f''}{f_r} \right)^{-\frac{1}{2}} \cdot R_r$$

la valeur précise de  $f$ ,  $Q$  et  $R$  est atteinte si la différence entre  $f_n$  et  $f_{n-1}$  reste inférieure à  $0,001 \cdot f_n$ ; cette précision est dans tous les cas atteinte au bout de trois essais.

En posant  $\lambda_Q^{2,65} = \left( \frac{f}{f_r} \right)^{\frac{1}{2}}$  on tire :

$$\lambda_Q = \left( \frac{f}{f_r} \right)^{1/5,3}$$

Sachant d'autre part que :

$$\Lambda = \left( \frac{Q_r}{2 \rho \sqrt{J}} \right)^{1/2,65} \quad (\text{voir rappels sur la théorie de la longueur fluidodynamique})$$

le débit d'un écoulement en régime turbulent rugueux réel ou hypothétique, passant par un profil, ayant sa longueur fluidodynamique  $\lambda$ , est :

$$Q_r = \lambda^{2,65} \cdot 26\sqrt{J} \quad (4)$$

en divisant les dimensions linéaires du profil réel, par  $\lambda_Q$ , on obtient un profil hypothétique, géométriquement semblable au premier, mais ayant sa longueur fluidodynamique réduite à  $\lambda/\lambda_Q$ . Le débit, hypothétique turbulent rugueux, passant par ce profil réduit, est en application de (4) :

$$(\lambda/\lambda_Q)^{2,65} \cdot 26\sqrt{J} = \lambda_Q^{-2,65} \cdot Q_r = \left( \frac{f}{f_r} \right)^{-\frac{1}{2}} \cdot Q_r = Q$$

Cette dernière équation montre que le débit réel  $Q$ , passant par une conduite ayant ses dimensions linéaires  $D$  ou  $h$  ou  $e$  etc... sa longueur fluidodynamique y correspondante  $\lambda = \frac{D}{D_0} = \frac{h}{h_0} = \frac{e}{e_0}$  ... et son coefficient de frottement y correspondant  $f$ , est le même que le débit hypothétique  $Q_r$ , véhiculé par une conduite hypothétique ayant :

- son profil géométriquement semblable

au profil réel.

- sa rugosité  $\epsilon$  identique à celle de la conduite réelle.

- les dimensions linéaires de son profil  $D/\lambda_Q$ ,  $h/\lambda_Q$ , etc ...

- et la longueur fluidodynamique  $\Lambda/\lambda_Q$ .

Ainsi le facteur  $\lambda_Q$  peut être considéré comme un facteur de transition, représentant le rapport entre les dimensions linéaires d'un profil réel et un autre hypothétique.

La troisième catégorie de problèmes d'écoulement en régime de transition, nécessitant une troisième définition du facteur de transition, correspond au cas où c'est le gradient  $J$  de la perte de charge, occasionnée par le passage d'un écoulement en régime de transition, que l'on cherche à déterminer en fonction des autres éléments connus.

Dans ce cas on connaît a priori les valeurs réelles de  $\epsilon$ , de  $D_h$ , de  $Q$  et on peut calculer la valeur réelle  $R$ , du nombre de Reynolds. Ainsi on peut repérer dans le diagramme de Moody les valeurs y correspondant

de  $f$  et de  $f_r$  et on peut calculer, en application de l'équation de Darcy - WEISSBACH, la valeur hypothétique  $J_r$  et la valeur réelle  $J$  du gradient de la perte de charge. On a :

$$J_r = \frac{f_r}{D_h} \cdot \frac{Q^2}{2gA^2}$$

et  $J = \frac{f}{D_h} \cdot \frac{Q^2}{2gA^2}$

d'où :  $J = \frac{f}{f_r} \cdot J_r$

Sachant que :  $\lambda = \left( \frac{Q}{2g\sqrt{J_r}} \right)^{1/2,65}$ ,

le gradient  $J_r$  de la perte de charge nécessaire à véhiculer, en régime hypothétique turbulent rugueux un débit  $Q$ , passant par un profil, ayant sa longueur fluidodynamique  $\lambda$ , est :

$$J_r = \frac{Q^2}{2g^2 \lambda^{5,3}}$$

en posant  $\lambda_J = \left( \frac{f}{f_r} \right)^{1/5,3}$ , on divise les dimensions linéaires du profil par  $\lambda_J$  pour obtenir un profil hypothétique géométriquement semblable au premier et

ayant sa longueur fluidodynamique réduite à  $\Lambda/\lambda_J$ . Le gradient de la perte de charge provoquée par le passage du débit  $Q$  par ce profil réduit est :

$$\frac{Q^2}{2g^2(\Lambda/\lambda_J)^{5,3}} = \lambda_J^{5,3} \cdot J_r = \frac{f}{f_r} \cdot J_r = J$$

Cette dernière équation montre que le gradient  $J$  de la perte de charge, provoquée par le passage d'un débit  $Q$  par un profil, ayant ses dimensions linéaires  $D$ ,  $h$  ou  $e$  etc..., sa longueur fluidodynamique  $\Lambda = \frac{D}{D_0} = \frac{h}{h_0} = \frac{e}{e_0}$  ... et son coefficient de frottement  $f$ , est le même que le gradient de la perte de charge, provoqué par le passage du même débit par une conduite hypothétique, ayant :

- son profil géométriquement semblable au profil réel.
- sa rugosité  $E$  identique à celle de la conduite réelle.
- les dimensions linéaires de son profil :  $D/\lambda_J$ ,  $h/\lambda_J$  ...
- et sa longueur fluidodynamique  $\Lambda/\lambda_J$ .

Ainsi, le facteur  $\lambda_J$  peut être considéré comme un facteur de transition, représentant le rapport entre les dimensions linéaires d'un profil réel et un autre hypothétique.

Dans le régime de transition, le coefficient de frottement  $f$  est déterminé en application de la formule de Colebrook

$$f^{-\frac{1}{2}} = -0,86 \ln \left( \frac{\epsilon/D_h}{3,7} + \frac{2,51}{R\sqrt{f}} \right)$$

## -Similitude et étude des modèles -

En vue de déterminer les dimensions des ouvrages, les conditions de l'écoulement des fluides ne permettent pas toujours d'appliquer directement les formules de la mécanique des fluides en raison des diverses hypothèses simplificatrices qui ont rendu possible leur établissement. Lorsqu'il ya lieu d'étudier un projet, on commence à préciser l'ordre de grandeur de ses dimensions en s'inspirant sur celles des ouvrages déjà existants et en appliquant à l'écoulement considéré les formules théoriques ou empiriques dont on dispose; cependant les résultats obtenus s'avèrent en général non satisfaisants du fait d'une part de l'approximation plus ou moins bonne assurée par les formules utilisées et d'autre part de la nécessité de simplifier le phénomène, considéré ou encore de négliger certains paramètres pour pouvoir lui appliquer les dites formules.

d'insi l'idée de tenter d'étudier en petit un phénomène se produisant en grand vient tout naturellement à l'esprit ; Ceci est le principe des essais sur modèles réduits qui ont connu un développement considérable non seulement en hydraulique mais aussi dans d'autres branches de la mécanique des fluides.

L'intérêt dont bénéficient ces essais est dû notamment aux facilités qu'offrent les mesures faites au laboratoire, à la plus grande précision obtenue grâce aux appareils de mesure utilisés et en outre, les modèles permettent de réaliser aisément un bon nombre d'expériences que l'on peut répéter en cas de nécessité en faisant varier un des paramètres du problème. (étude systématique du phénomène pour différents débits, différentes profondeurs, différentes pressions etc...); La question essentielle qui se pose alors est la suivante : dans quelle mesure et suivant quelle loi les résultats obtenus sur le modèle peuvent-ils être transposés dans l'écoulement en vraie grandeur (prototype) ?

Autrement dit si le modèle est géométriquement semblable au prototype, les dimensions linéaires homologues du modèle et du prototype étant dans un rapport  $\lambda$  (échelle du modèle) et si en outre les caractéristiques de l'écoulement dans le modèle (vitesse, débit, pression etc...) sont réduites par rapport à celles du prototype suivants des rapports différents ( $\lambda_t, \lambda_v, \lambda_Q, \lambda_F$  etc...). Pour que les résultats obtenus sur le modèle soient transposables dans la réalité, il faut tout d'abord que les rapports susvisés soient bien déterminés et constants, qu'ils ne changent pas par exemple quand on modifie les conditions de l'écoulement (débit, pression, tirant d'eau etc...); de plus il faut que ces rapports soient connus en fonction de l'échelle  $\lambda$ . Si ces conditions sont réalisées on a dans le modèle un écoulement semblable à celui du prototype. La réalisation de ces conditions résulte de l'application des lois de similitude -

### Similitude géométrique.

Echelle du modèle: c'est le rapport des dimensions linéaires homologues du modèle ( $L_2$ ) et du prototype ( $L_1$ ).

Soit :  $\lambda = \frac{L_2}{L_1}$

### Similitude cinématique.

Elle exige que les vitesses et les accélérations soient dans un rapport défini et constant en tous les points correspondant des deux écoulements.

Soient :

$t_1$  le temps mis pour parcourir la distance  $L_1$  dans le prototype.

$t_2$  le temps mis pour parcourir la distance  $L_2$  homologue de  $L_1$  dans le modèle.

$\lambda$  l'échelle du modèle.  $\lambda = \frac{L_2}{L_1}$

$\lambda_t$  l'échelle des temps  $\lambda_t = t_2/t_1$

$\lambda_v$  l'échelle des vitesses  $\lambda_v = v_2/v_1$

$\lambda_\gamma$  l'échelle des accélérations  $\lambda_\gamma = \gamma_2/\gamma_1$ ,  
on a, par définition :

$$v_1 = \frac{L_1}{t_1}, \quad v_2 = \frac{L_2}{t_2} \quad \text{en divisant membre à membre ces équations, on tire :}$$

$$\frac{v_2}{v_1} = \lambda_v = \frac{L_2}{L_1} \cdot \frac{t_1}{t_2} = \frac{\lambda}{\lambda_t}$$

de même pour les accélérations on a par définition :

$$\gamma_1 = \frac{L_1}{t_1^2}, \quad \gamma_2 = \frac{L_2}{t_2^2} \quad \text{en divisant membre}$$

à membre on tire :

$$\frac{\gamma_2}{\gamma_1} = \lambda_\gamma = \frac{L_2}{L_1} \cdot \left( \frac{t_1}{t_2} \right)^2 = \lambda \cdot \frac{1}{\lambda_t^2}$$

on constate donc que le choix de l'échelle des temps  $\lambda_t$  impose celle des vitesses  $\lambda_v = \frac{\lambda}{\lambda_t}$  et celle des accélérations  $\lambda_\gamma = \frac{\lambda}{\lambda_t^2}$ .

### Similitude dynamique.

Les mouvements du fluide dans le prototype et dans le modèle sont provoqués par des forces. Pour que les deux systèmes (modèle et prototype) soient dynamiquement semblables, il est nécessaire que les forces agissant en des points homologues du modèle et du prototype soient dans un rapport fixe et bien déterminé. Il en découle que l'existence d'une similitude dynamique

stricte est conditionnée par l'identité des produits adimensionnels : nombre de Froude, nombre de Reynolds, nombre de Mach et nombre de Weber dans les points homologues du modèle et du prototype, ce qui est pratiquement impossible de réaliser sauf si le modèle a pour échelle  $R = 1$ .

Toutefois cette impossibilité ne signifie pas la caducité de l'expérimentation sur les modèles réduits car suivant la nature de l'écoulement les forces y intervenant sont plus ou moins importantes. Ainsi les forces dues à la tension superficielle n'interviennent que dans le cas des écoulements par gouttes ou par petits jets et l'effet des forces dues à l'élasticité n'a pratiquement aucune influence sur l'écoulement permanent franchement subsonique ( $M \leq 0,7$ ) des liquides. Les forces dues à la viscosité peuvent avoir une importance plus ou moins grande par rapport aux forces dues à l'inertie et à la pesanteur suivant le degré de turbulence du régime, c'est à dire suivant la grandeur du nombre de Reynolds caractérisant l'écoulement. Cette circonstance incite à faire une distinction

fondamentale en ce qui concerne la similitude dynamique et permet de définir les lois régissant les relations, existant entre les éléments homologues, déterminant les phénomènes physiques ayant lieu dans le prototype et dans le modèle.

Il existe du fait de vue pratique deux cas importants de la similitude dynamique.

1) Cas où les forces dues à la viscosité sont négligeables par rapport aux forces dues à l'inertie et à la pesanteur : c'est la similitude de Reech - Froude.

2) Cas où les forces dues à la pesanteur sont négligeables par rapport aux forces dues à l'inertie et à la viscosité : c'est la similitude de Reynolds.

Dans le premier cas l'étude du phénomène aboutit à la relation :

$$\tau_v = \frac{v_2}{v_1} = \frac{\lambda}{\lambda_t} = \sqrt{\lambda}$$

La loi de similitude de Reech - Froude peut s'exprimer d'une autre façon ; en effet la relation ci-dessus peut s'écrire comme suit :

$$\frac{v_2}{v_1} = \sqrt{\frac{L_2}{L_1}}$$

$L_1$  et  $L_2$  représentent les dimensions linéaires homologues dans le prototype et dans le modèle; en éllevant au carré les deux membres de l'égalité ci-dessus, on tire:

$$\frac{v_2^2}{v_1^2} = \frac{L_2}{L_1} \quad \text{d'où} \quad \frac{v_2^2}{L_2} = \frac{v_1^2}{L_1}; \quad \text{en divisant}$$

les deux membres par  $g$  (accélération de la pesanteur qui reste la même aussi bien dans le modèle que dans le prototype) on a :

$$\frac{v_2^2}{gL_2} = \frac{v_1^2}{gL_1} = F$$

La condition de similitude imposée revient donc à réaliser un écoulement caractérisé par un même nombre de Froude dans le modèle et dans le prototype.

En combinant les similitudes géométriques cinématiques et dynamiques, nous obtenons les rapports de toutes les caractéristiques de l'écoulement dans le modèle et dans le prototype:

- temps  $\tau_t = \sqrt{F}$

- vitesses  $v_r = \sqrt{F}$

- débits :  $\lambda_Q = \lambda_v \cdot \lambda^2 = \lambda^{5/2}$
- accélération :  $\lambda_y = \frac{\lambda}{\lambda^2} = 1$
- Forces :  $\lambda_F = \lambda_m \cdot \lambda_y = \lambda_p \cdot \lambda^3$
- Pressions :  $\lambda_p = \frac{\lambda_F}{\lambda^2} = \lambda_p \cdot \lambda$
- Puissances :  $\lambda_P = \lambda_F \cdot \frac{\lambda}{\lambda_t} = \lambda_p \cdot \lambda^{7/2}$ .

Le plus souvent, on utilise le même fluide dans le modèle et dans le prototype alors :  $\lambda_p = \frac{P_2}{P_1} = 1$

La similitude de Reech-Froude est très fréquemment utilisée dans les études sur modèles réduits ; elle intervient notamment pour la plupart des écoulements à surface libre.

Dans le deuxième cas (similitude de Reynolds) on aboutit à :

$$\frac{L_2 v_2}{v_2} = \frac{L_1 v_1}{v_1} = R.$$

ce qui revient à dire que le nombre de Reynolds caractérisant l'écoulement doit être le même dans le modèle et dans le prototype ; on tire de l'égalité ci-dessous :

$$\frac{L_2}{L_1} = \frac{v_2}{v_1} \cdot \frac{v_1}{v_2}.$$

soit  $\frac{L_2}{L_1} = \lambda$  et  $\lambda = \mu/\rho$  ainsi

$$\lambda = \frac{L_2}{L_1} = \frac{\mu_2}{\mu_1} \cdot \frac{f_1}{f_2} \cdot \frac{v_1}{v_2} = \frac{R}{R} \cdot \frac{\mu_2}{\mu_1} \cdot \frac{f_1}{f_2} \cdot \frac{v_1}{v_2} = \lambda_\mu \cdot \lambda_f \cdot \lambda_v^{-1}$$

$$\lambda_v = \frac{v_2}{v_1} = \frac{R \mu_2}{R \mu_1} \cdot \frac{L_1}{L_2} \cdot \frac{f_1}{f_2} = \lambda_\mu \cdot \lambda^{-1} \cdot \lambda_f^{-1}$$

$$\lambda_t = \frac{\lambda}{\lambda_v} = \lambda^2 \cdot \lambda_\mu^{-1} \cdot \lambda_f$$

$$\lambda_F = \lambda_\mu \cdot \lambda^2 \cdot \lambda_t^{-1} = \lambda_\mu^2 \cdot \lambda_f^{-1}$$

$$\lambda_Q = \lambda_v \cdot \lambda^2 = \lambda \cdot \lambda_\mu \cdot \lambda_f^{-1}$$

$$\lambda_g = \lambda \cdot \lambda_t^{-2} = \lambda^{-3} \cdot \lambda_\mu^2 \cdot \lambda_f^{-2}$$

$$\lambda_p = \frac{\lambda_F}{\lambda^2} = \lambda^{-2} \cdot \lambda_\mu \cdot \lambda_f^{-1}$$

$$\lambda_P = \lambda_F \cdot \lambda_v = \lambda_\mu^2 \cdot \lambda_f^{-1} \lambda_\mu \cdot \lambda^{-1} \lambda_f = \lambda_\mu^3 \cdot \lambda_f^{-2} \cdot \lambda^{-1}$$

Incompatibilité des similitudes de Reech-Froude et de Reynolds.

La condition de Reech-Froude impose :

$$\lambda_v = \sqrt{\lambda}$$

En substituant cette relation à celle exprimant la condition de Reynolds, on tire :

$$\lambda^{3/2} = \lambda_g$$

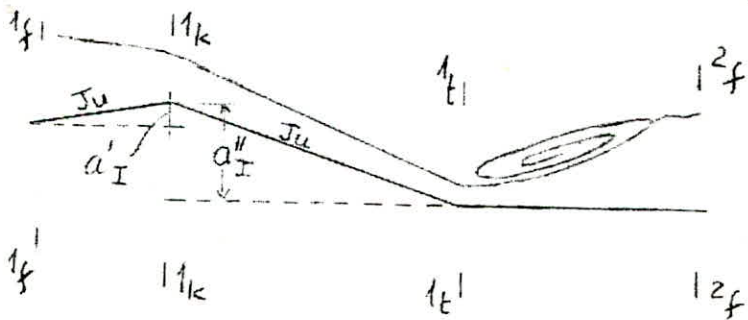
Dans la pratique, on utilise le plus souvent de l'eau et sur le modèle, et sur le prototype, c'est à dire on a :  $\lambda_g = 1$ , d'où il résulte

que  $\lambda = 1$ ; autrement dit, le modèle doit être réalisé à la même échelle que le prototype. Il est donc pratiquement impossible de réaliser des essais sur modèle réduit permettant de satisfaire simultanément aux conditions de Reech-Froude et de Reynolds.

— CHAP II —

Écoulements permanents non uniformes en conduite circulaire partiellement mouillée.

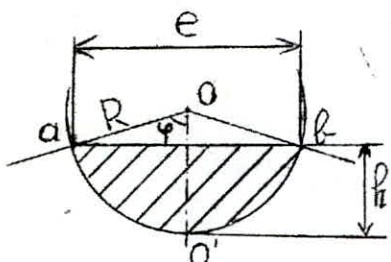
La section sèche circulaire est dans tous les cas réductible à un modèle unique, géométriquement semblable, constitué par le cercle ayant son diamètre  $D_1$ , égal à l'unité de longueur. En application des lois de Similitude de Reech-Froude les relations obtenues pour le diamètre  $D_1$  sont extensibles au cas général où la section étudiée a un diamètre quelconque. L'écoulement étudié est celui passant par l'ouvrage constitué d'un assemblage d'éléments à profil circulaire de diamètre  $D_1$  et dont le profil en long est représenté par la figure, où toutes les dimensions et profondeurs sont affectées de l'indice "I" relatif au diamètre  $D_1$ . Ainsi  $h_f^I$  représente la profondeur fluviale au droit de la section  $I_f$ ,  $h_t^I$  la profondeur torrentielle au droit de la section  $I_f$  etc...



Le long de la partie descendante, appelée aussi "rapide", l'écoulement est torrentiel; à l'amont de la section  $1_k$  dite de contrôle, l'écoulement est fluvial avant de devenir critique au droit de cette même section. La partie horizontale est le lieu d'un changement de régime de l'écoulement, de torrentiel dans la section  $1_k$  en fluvial dans la section  $2_f$ . Cette transformation de régime se fait par un ressaut.

Les paramètres affectés de l'indice "I" sont relatifs au diamètre  $D_I$  égal à l'unité de longueur; ainsi  $Q_I$  est le débit véhiculé par ce diamètre,  $h_I$  représente la profondeur, etc... Notre étude consistera à déterminer d'une part les paramètres du ressaut à Savoir : ses hauteurs à l'amont et à l'aval, sa longueur ainsi que la perte de charge qu'il occasionne, et le profil en long de la surface libre de l'écoulement à travers l'ouvrage indiqué d'autre part.

## Rappels concernant le profil circulaire.



La figure ci-contre représente un profil circulaire de diamètre  $D$  et de rayon  $R$ .

Désignons par  $A$  l'aire du segment circulaire hachuré, sur la figure et ayant

pour corde  $e$ , pour longueur d'arc  $l$  et pour flèche  $h$ ,  $A_1$  l'aire du secteur circulaire  $oao'b$  et  $A_2$  l'aire du triangle  $oab$ . Soit  $2\varphi$  l'angle au centre, l'aire  $A$  s'exprime comme étant la différence de  $A_1$  et  $A_2$  :

$$A = A_1 - A_2 \quad (1)$$

$$A_1 = \frac{1}{2} l \cdot R \quad (2)$$

la longueur de l'arc  $l$  s'écrit :

$$l = \frac{2\varphi}{360} \cdot 2\pi R \quad (3) \text{ dans cette relation}$$

$\varphi$  est exprimé en degrés.

$$\text{ainsi } A_1 = \frac{1}{2} \cdot \frac{2\varphi}{360} \cdot 2\pi R \cdot R = \frac{\varphi}{180} \cdot \pi R^2 \\ = \frac{D^2}{4} \cdot \frac{\varphi}{180} \cdot \pi \quad (4)$$

L'aire  $A_2$  s'écrit :

$$A_2 = 2 \times \frac{1}{2} (R-h) \frac{e}{2} = \frac{1}{2} (R-h) e = \frac{1}{2} \left(\frac{D}{2} - h\right) e \quad (5)$$

Pour ce même profil on a :

$$\cos \varphi = \frac{R-h}{R} = 1 - \frac{h}{R} = 1 - \frac{2h}{D} \quad (6)$$

$$\sin \varphi = \frac{1}{2} \frac{e}{R} = \frac{e}{D} \quad (7)$$

de l'équation (6) on tire la flèche  $h$ :

$$h = \frac{D}{2} (1 - \cos \varphi) \quad (6')$$

l'équation (7) nous donne la corde  $e$ :

$$e = D \sin \varphi \quad (7')$$

L'aire  $A_2$  s'écrit alors :

$$\begin{aligned} A_2 &= \frac{1}{2} \left[ \frac{D}{2} - \frac{D}{2} (1 - \cos \varphi) \right] D \sin \varphi \\ &= \frac{D^2}{4} \cos \varphi \cdot \sin \varphi \end{aligned} \quad (8)$$

finalement l'aire  $A$  s'exprime par :

$$\begin{aligned} A &= A_1 - A_2 = \frac{D^2 \varphi}{4 \cdot 180} \cdot \pi - \frac{D^2}{4} \cos \varphi \cdot \sin \varphi \\ &= \frac{D^2}{4} \left( \frac{\varphi}{180} \cdot \pi - \cos \varphi \cdot \sin \varphi \right) \end{aligned} \quad (9)$$

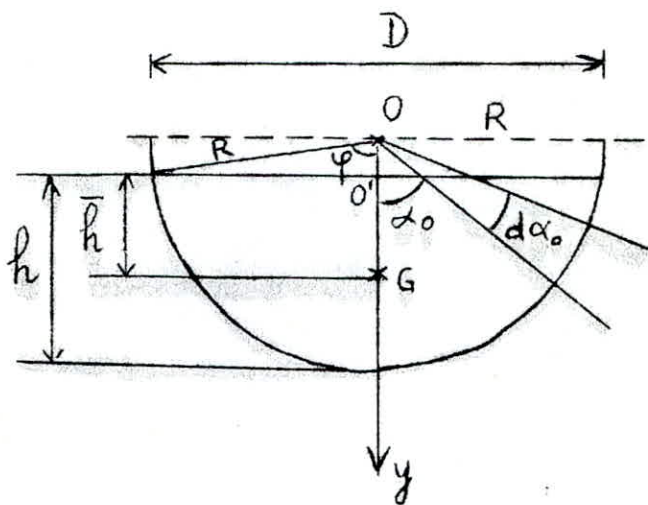
Il est à préciser que dans la relation (9) l'angle  $\varphi$  est exprimé en degrés.

l'aire  $A$  peut encore s'écrire :

$$A = \frac{D^2}{4} (\varphi - \cos \varphi \cdot \sin \varphi) \quad (9') \text{ où}$$

l'angle  $\varphi$  est exprimé en radians.

-determination du centre de gravité  
d'un segment circulaire-



La figure ci-dessus représente un segment circulaire dont  $G$  est le centre de gravité. Il s'agit de déterminer la distance verticale  $\bar{h}$  qui donne la position de  $G$ .

on écrit que :  $y_G$  (position de  $G$  par rapport au centre  $O$ ) est égal au moment statique divisé par l'aire du segment.  
ainsi :  $y_G = \frac{\int y dA}{A}$

avec :

$$y = R \cos \alpha_0$$

$$dA = 2R \sin \alpha_0 \cdot dy$$

$$dy = R \sin \alpha_0 \cdot d\alpha_0$$

$$\text{et } A = \frac{D^2}{4} (\varphi - \sin \varphi \cdot \cos \varphi)$$

$$\text{finalement : } y_G = \frac{\int 2R^3 \cos \alpha_0 \cdot \sin^2 \alpha_0 d\alpha_0}{A}$$

$$= \frac{2}{3A} R^3 (\sin^3 \alpha_0)_{0}^{\varphi}$$

$$y_G = \frac{2}{3A} R^3 \sin^3 \varphi = \frac{D^3}{12A} \cdot \sin^3 \varphi$$

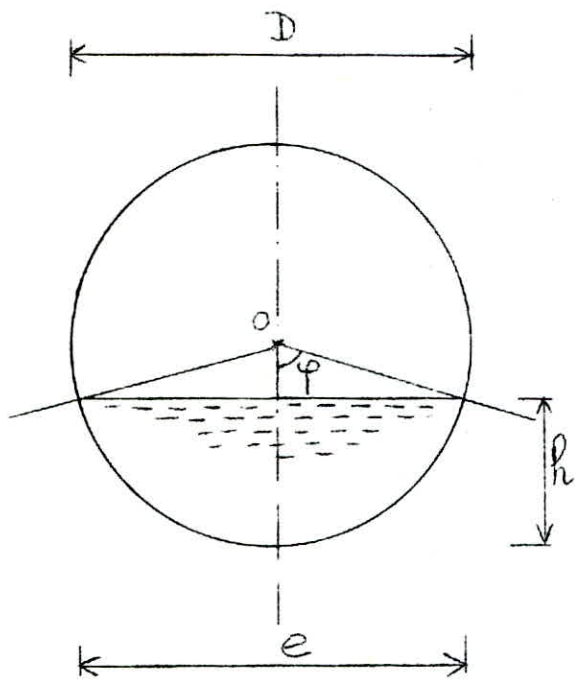
-par-Suite:

$$\bar{h} = y_G - OO' = y_G - R \cos \varphi$$

$$\bar{h} = \frac{D^3}{12A} \cdot \sin^3 \varphi - R \cos \varphi = \frac{D^3}{12A} \sin^3 \varphi - \frac{D}{2} \cos \varphi$$

$$\bar{h} = \frac{D^3}{12A} \cdot \sin^3 \varphi - \frac{D}{2} \cdot \cos \varphi.$$

## Paramètres dimensionnels du profil circulaire.



Le paramètre de forme du profil circulaire est :

$$\xi = \frac{h}{D} \quad \text{avec}$$

$$h = \frac{D}{2} (1 - \cos \varphi) \quad \text{ainsi}$$

$$\xi = \frac{1}{2} (1 - \cos \varphi) \quad \text{d'où}$$

$$\varphi = \arccos(1 - 2\xi)$$

le périmètre mouillé est  $P = D\varphi$  soit :

$$P = D \arccos(1 - 2\xi)$$

la section mouillée est :  $A = \frac{D^2}{4} (\varphi - \sin \varphi \cos \varphi)$

Si nous choisissons pour dimension linéaire le diamètre  $D$  du profil ( $a = D$ ), le périmètre mouillé  $P_1$  correspondant à  $a = 1 = D$  est alors :

$$P_1 = \varphi = \arccos(1 - 2\xi)$$

la section mouillée  $A_1$  est :

$$A_1 = \frac{1}{4} (\varphi - \sin \varphi \cos \varphi)$$

le paramètre dimensionnel  $a_0$  est donné par :

$$a_0 = D_0 = \frac{P_1^{0,245}}{A_1^{0,623}} \quad \text{soit}$$

$$D_0 = \frac{\varphi^{0,245}}{\left( \frac{(\varphi - \sin \varphi \cdot \cos \varphi)}{4} \right)^{0,623}}$$

Extremum :

$$\cdot P'_1 = \varphi' = [\arccos(1-2\varphi)]'$$

$$P'_1 = -2 \cdot \frac{-1}{\sqrt{1-(1-2\varphi)^2}} = \frac{2}{\sqrt{4\varphi - 4\varphi^2}} = \frac{1}{\sqrt{\varphi - \varphi^2}}$$

$$P'_1 = \frac{1}{\sqrt{\varphi - \varphi^2}}$$

$$\cdot A'_1 = \frac{1}{4} (\varphi - \sin \varphi \cdot \cos \varphi)'$$

$$A'_1 = \frac{1}{4} \left( \varphi' - \frac{2\varphi' \cos 2\varphi}{2} \right) \quad \text{soit :}$$

$$A'_1 = \frac{\varphi'}{4} (1 - \cos 2\varphi)$$

En application de la relation :

$$2A_1 P'_1 = A'_1 P_1 \quad \text{il vient :}$$

$$2A_1\varphi' = P_1 \frac{\varphi'}{4} (1 - \cos 2\varphi) \quad \text{soit}$$

$$8A_1 = P_1 (1 - \cos 2\varphi)$$

En remplaçant dans cette dernière équation  $A_1$  et  $P_1$  par leurs expressions, on obtient :

$$2\varphi - \sin 2\varphi = \varphi(1 - \cos 2\varphi)$$

$$\varphi(1 + \cos 2\varphi) = -\sin 2\varphi$$

$$\varphi = \operatorname{tg} \varphi, \text{ il s'ensuit que } \varphi = 0$$

$$\text{c'est à dire : } \arccos(1 - 2\zeta) = 0$$

$$\text{soit : } 1 - 2\zeta = 0 \quad \text{d'où}$$

$$\zeta_{\text{optimum}} = \frac{1}{2} \quad \text{correspondant à}$$

$$D_{\text{optimum}} = 2 \quad \text{et}$$

$$h_{\text{optimum}} = 1$$

minimum de  $D_0$

$$D_0 = \frac{P_1^{0,65/2,65}}{A_1^{1,65/2,65}}$$

$$D'_0 = \left( \frac{0,65}{2,65} P_1^{-\frac{2}{2,65}} \cdot P_1' A_1^{1,65/2,65} - \frac{1,65}{2,65} \cdot A_1^{-\frac{1}{2,65}} \cdot A_1' P_1^{\frac{0,65}{2,65}} \right) A_1^{-\frac{2 \times 1,65}{2,65}}$$

$D_0$  présente un minimum qui s'exprime par  $D'_0 = 0$  Soit :

$$\frac{0,65}{2,65} \cdot P_1^{-\frac{2}{2,65}} \cdot A_1^{\frac{1,65}{2,65}} P'_1 = \frac{1,65}{2,65} \cdot A_1^{-\frac{1}{2,65}} \cdot P_1^{0,65/2,65} \cdot A'_1$$

$$\text{ou bien : } 0,65 \cdot A_1 \cdot P'_1 = 1,65 \cdot P_1 \cdot A'_1$$

$$0,65 \cdot A_1 \cdot \varphi' = 1,65 \cdot P_1 \cdot \frac{\varphi'}{4} (1 - \cos 2\varphi)$$

$$4A_1 = \frac{1,65}{0,65} P_1 (1 - \cos 2\varphi)$$

En remplaçant dans cette dernière équation  $A_1$  et  $P_1$  par leurs expressions, on a :

$$\varphi \cdot \sin \varphi \cdot \cos \varphi = \frac{1,65}{0,65} \cdot \varphi (1 - \cos 2\varphi)$$

$$\frac{\varphi}{0,65} (1,65 - 0,65 - 1,65 \cos 2\varphi) = -0,65 \sin \varphi \cos \varphi$$

$$\varphi (1 - 1,65 \cos 2\varphi) = -0,65 \sin \varphi \cos \varphi$$

$$\text{finalement : } \varphi = \frac{0,325 \sin 2\varphi}{1,65 \cos 2\varphi - 1}$$

En résolvant cette équation par approximations successives, on trouve :

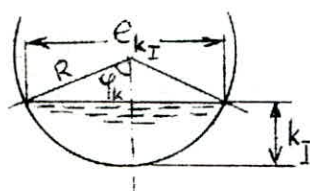
$\varphi = 2,643$  rd par suite le paramètre de forme  $\xi = \frac{1}{2} (1 - \cos \varphi)$  vaut :

$$\xi = 0,939$$

Écoulement critique dans une conduite circulaire partiellement mouillée, de diamètre égal à l'unité de longueur

La figure ci-dessous représente un profil circulaire de diamètre égal à l'unité, partiellement mouillé par un courant en régime critique de profondeur  $k_I$  et de largeur de plan  $e_{k_I}$ . On a pour ce profil :

$$\cos \varphi_k = \frac{0,5 - k_I}{0,5} = 1 - 2k_I \quad (1_k)$$



L'aire du segment constituant le profil critique mouillé est :

$$A_{k_I} = \frac{\varphi_k - \sin \varphi_k \cdot \cos \varphi_k}{4} \quad (2_k)$$

(voir rappels mathématiques), avec  $\varphi_k = \arccos(1 - 2k_I)$

$$\text{La corde } e_{k_I} = \sin \varphi_k \quad (3_k)$$

$$\text{La flèche } k_I = \frac{1 - \cos \varphi_k}{2}$$

Pour un écoulement en régime critique on a :

$$\frac{Q_I^2 e_{k_I}}{g A_{k_I}^3} = 1 \quad (*) \quad \text{avec } Q_I^2 = (V_{k_I} \cdot A_{k_I})^2$$

la relation <sup>(\*)</sup> s'écrit après simplification

$$\frac{V_{k_I}^2 e_{k_I}}{g A_{k_I}} = 1 \quad \text{d'où} \quad \frac{V_{k_I}^2}{2g} = \frac{A_{k_I}}{2e_{k_I}} \quad (4_k)$$

La quantité  $\frac{V_{k_I}^2}{2g}$  est la hauteur capable de la vitesse. Soit :  $\frac{V_{k_I}^2}{2g} = H_{k_I} - k_I \quad (5_k)$

en remplaçant  $A_{k_I}$  et  $e_{k_I}$  par leur expression indiquée ci-dessus, on obtient pour la

vitesse critique :

$$v_{k_I} = \sqrt{\frac{g(\varphi_k - \sin \varphi_k \cdot \cos \varphi_k)}{4}} \quad (6_k)$$

L'expression du débit est donnée par la relation (\*):  $Q_I = \sqrt{g \frac{A_{k_I}^3}{e_{k_I}}}$

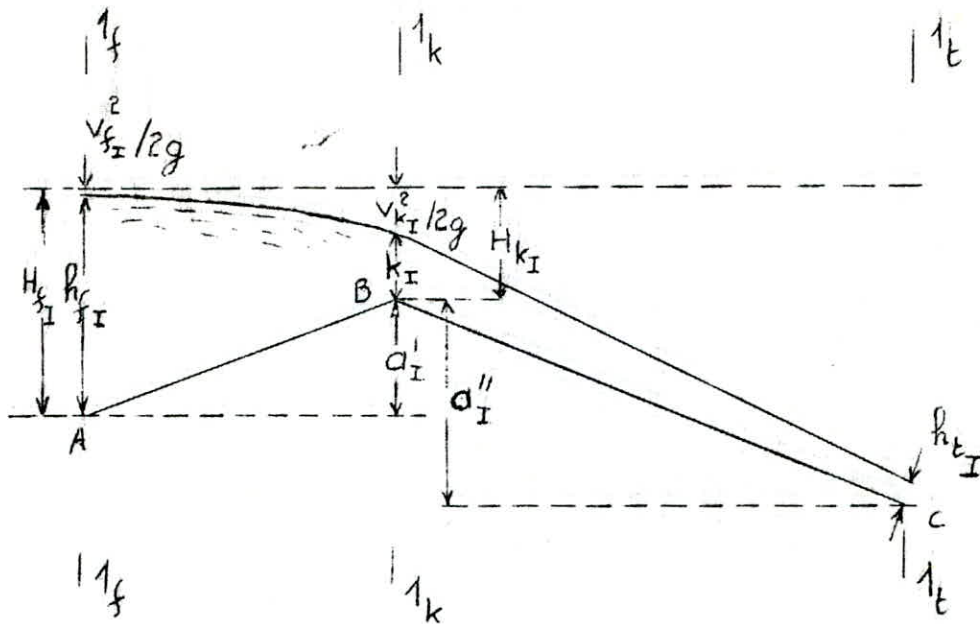
en remplaçant  $A_{k_I}$  et  $e_{k_I}$  par leur expression déjà indiquée, on écrit:

$$Q_I = \sqrt{\frac{g(\varphi_k - \sin \varphi_k \cdot \cos \varphi_k)^3}{4 \cdot \sin \varphi_k}} \quad (7_k)$$

La charge totale  $H_{k_I} = \frac{v_{k_I}^2}{2g} + k_I$  s'écrit après substitution des expressions de  $v_{k_I}$  et de  $k_I$ :

$$H_{k_I} = \frac{\varphi_k - \sin \varphi_k \cdot \cos \varphi_k}{8 \cdot \sin \varphi_k} + \frac{1 - \cos \varphi_k}{2} \quad (8_k)$$

Etude du seuil ABC -



La charge totale au droit de la section  $1_f$  où l'écoulement est fluviatile est, comme le montre la figure ci-dessus :

$$H_{f_I} = H_{k_I} + \alpha'_I \quad (1_f)$$

La section mouillée y est égale à :

$$A_{f_I} = \frac{\varphi_f - \sin \varphi_f \cdot \cos \varphi_f}{4} \quad (2_f) \text{ où } \varphi_f = \arccos(1 - 2h_{f_I})$$

$$(1_f) \text{ peut s'écrire } H_{k_I} = H_{f_I} - \alpha'_I \quad (1'_f)$$

$$\text{La charge totale } H_{f_I} = h_{f_I} + \frac{v_{f_I}^2}{2g} \quad (3_f)$$

en vertu de l'équation de continuité la relation

$$(3_f) \text{ devient : } H_{f_I} = h_{f_I} + \frac{Q_I^2}{2g A_{f_I}^2} \quad (4_f)$$

$$\text{Ainsi } (1'_f) \text{ s'écrit : } H_{k_I} = h_{f_I} + \frac{Q_I^2}{2g A_{f_I}^2} - \alpha'_I \quad (5_f)$$

en éliminant  $Q_I$  entre  $(5_f)$  et  $(7_k)$  on tire :

$$H_{k_I} = h_{f_I} + \frac{(\varphi_k - \sin \varphi_k \cdot \cos \varphi_k)^3}{128 A_{f_I}^2 \cdot \sin \varphi_k} - \alpha'_I \quad (10)$$

Dans la section ( $t_I$ ) l'écoulement est torrentiel et la profondeur est  $h_{t_I}$ ; en négligeant les pertes de charge linéaires sur le tronçon BC, la charge totale  $H_{t_I}$  dans la dite section est :

$$H_{t_I} = H_{k_I} + \alpha''_I \quad (1_t)$$

La section mouillée y est égale à :

$$A_{t_I} = \frac{\varphi_t - \sin \varphi_t \cdot \cos \varphi_t}{4} \quad (2_t)$$

où  $\varphi_t = \arccos(1 - 2h_{t_I})$ ,

La relation (1<sub>t</sub>) peut s'écrire :

$$H_{k_I} = H_{t_I} - \alpha''_I \quad (1'_t)$$

$$\text{La charge totale } H_{t_I} = h_{t_I} + \frac{v_{t_I}^2}{2g} \quad (3_t)$$

En vertu de l'équation de continuité la relation (3<sub>t</sub>) devient :

$$H_{t_I} = h_{t_I} + \frac{Q_I^2}{2g A_{t_I}^2} \quad (4_t)$$

$$\text{Ainsi } (1'_t) \text{ s'écrit : } H_{k_I} = h_{t_I} + \frac{Q_I^2}{2g A_{t_I}^2} - \alpha''_I \quad (5_t)$$

En éliminant  $Q_I$  entre (5<sub>t</sub>) et (7<sub>k</sub>) on tire :

$$H_{k_I} = h_{t_I} + \frac{(\varphi_k - \sin \varphi_k \cdot \cos \varphi_k)^3}{128 A_{t_I}^2 \cdot \sin \varphi_k} - \alpha''_I \quad (11)$$

Un programme, applicable au "calculateur de poche" du type TI 59, et un organigramme ont été établi en application des équations précédentes, l'organigramme montrant les différentes

étapes de calcul est le suivant :

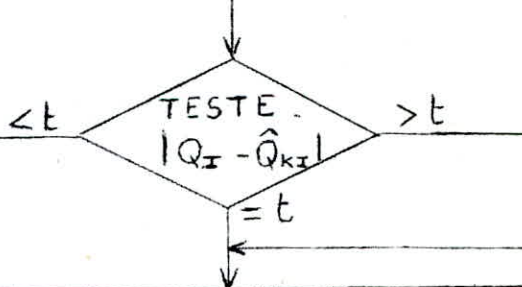


à partir de  $k_I$  approximatif, calcule :

$$\hat{Q}_{k_I} = V_{k_I} \cdot A_{k_I}; \varphi_k = \arccos(1 - 2k_I); e_{k_I} = -\sin \varphi_k;$$

$$A_{k_I} = \frac{1}{4} (\varphi_k - \sin \varphi_k \cdot \cos \varphi_k); V_{k_I} = \sqrt{g A_{k_I} / e_{k_I}};$$

$$H_{k_I} = k_I + \frac{V_{k_I}^2}{2g}.$$



corrige la valeur de  $k_I$  avec la relation :

$$k_{I_i} = k_{I_{i-1}} \cdot \left( \frac{Q_I}{\hat{Q}_{k_{I_{i-1}}}} \right)^{0.5}$$

stocke :  $\varphi_k, A_{k_I}, V_{k_I}, Q_{k_I}, H_{k_I}, k_I$

calcule et stocke :

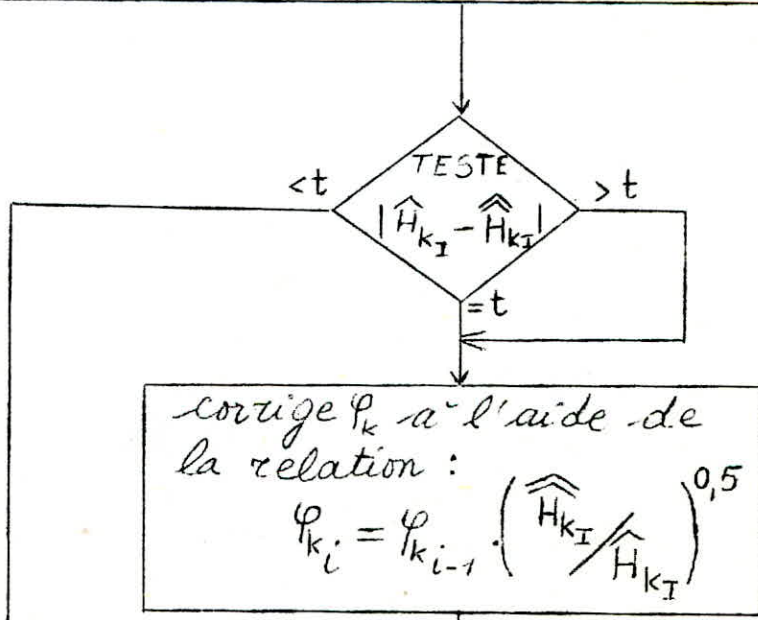
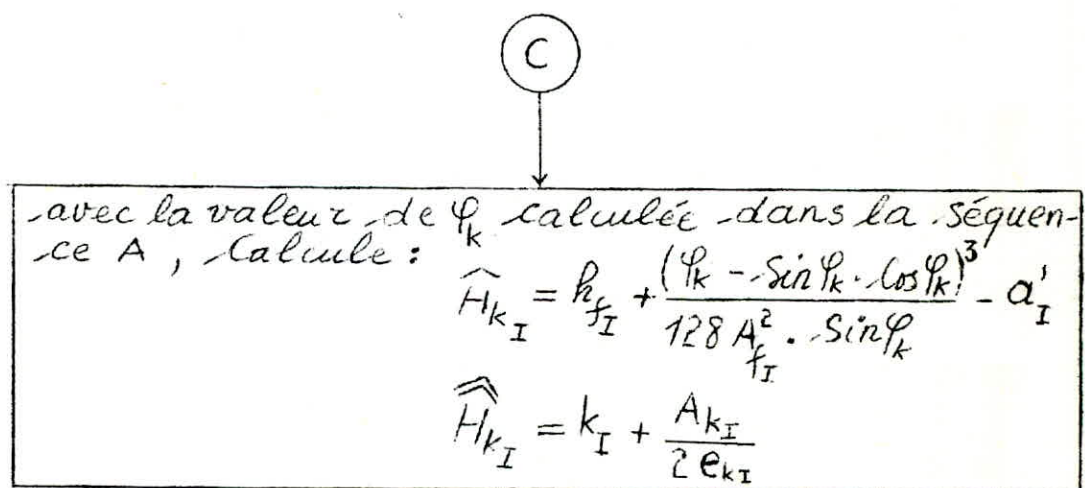
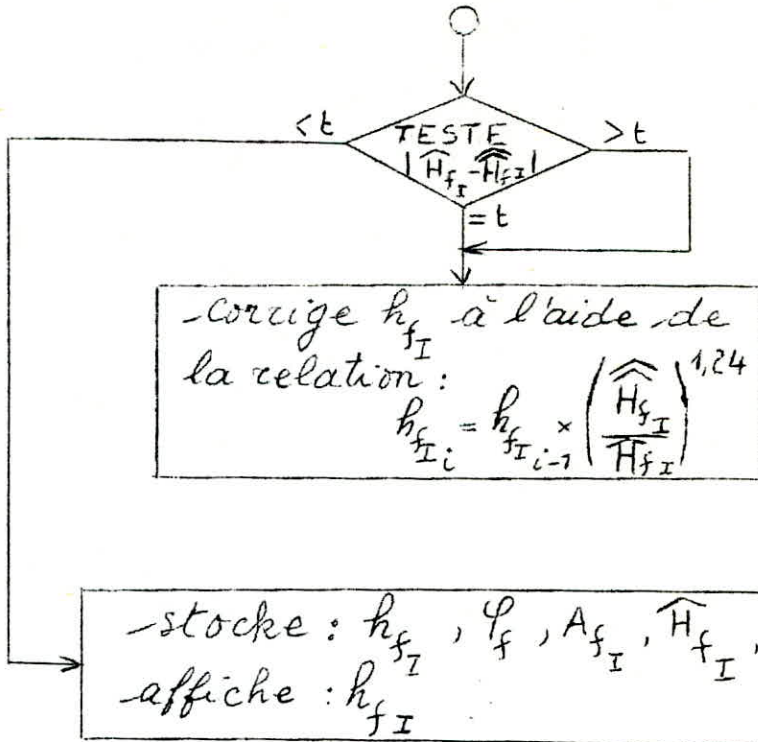
$$H_{f_I} = H_{k_I} + a'_I \text{ et } h_{f_I} \approx H_{f_I} \text{ affiche } k_I$$



à partir de  $h_{f_I}$  approximatif, calcule :

$$\varphi_f = \arccos(1 - 2h_{f_I}); \hat{H}_{f_I} = h_{f_I} + \frac{Q_I^2}{2g A_{f_I}^2}; \hat{H}_{f_I} = H_{k_I} + a'_I$$

$$A_{f_I} = \frac{1}{4} (\varphi_f - \sin \varphi_f \cdot \cos \varphi_f)$$



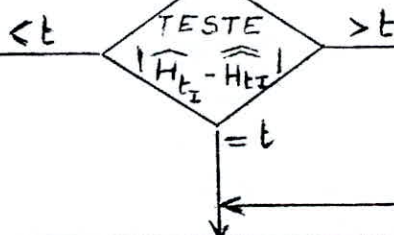
stocke :  $\hat{H}_{k_I}$ ;  $\hat{\hat{H}}_{k_I}$ ;  $\varphi_k$ . calcule, stocke et affiche :  $\hat{Q}_I = \sqrt{g A_{k_I}^3 / e_{k_I}}$

D

à partir de  $h_{t_I}$  approximé en A, calcule :

$$\varphi_t = \arccos(1 - 2h_{t_I}); A_{t_I} = \frac{\varphi_t - \sin \varphi_t \cdot \cos \varphi_t}{4}$$

$$\hat{\hat{H}}_{t_I} = h_{t_I} + \frac{Q_I^2}{2g \cdot A_{t_I}^2}; \hat{H}_{t_I} = H_{k_I} + a''_I$$



corrige  $h_{t_I}$  avec la relation :

$$h_{t_i} = h_{t_{i-1}} \times \left( \frac{\hat{\hat{H}}_{t_I}}{\hat{H}_{t_I}} \right)^{0,6}$$

stocke :  $\varphi_t$ ;  $A_{t_I}$ ;  $\hat{H}_{t_I}$ ;  $\hat{\hat{H}}_{t_I}$ ;  $h_{t_I}$

affiche :  $h_{t_I}$

Le programme est le suivant :

2nd LBL A 2nd RAD  $1 - 2 \times RCL06 = INV 2nd \cos STO 07$   
 $- RCL07 2nd \sin \times RCL07 2nd \cos = \div 4 = STO 08 \times$   
 $9.8 \div RCL07 \times 2nd \sin = \sqrt{x} STO 09 \times RCL08 = STO 05$   
 $RCL06 + RCL09 x^2 \div 19.6 = STO 00 RCL10 \div RCL05 =$   
 $y^x .5 \times RCL06 = STO 06 (RCL10 - RCL05) 2nd |x| 2nd$   
 $x \geq t A RCL00 + RCL04 = STO 11 STO 02 RCL06 \div 2 =$   
 $STO 22 RCL06 R/S$

2nd LBL B  $1 - 2 \times RCL02 = INV 2nd \cos STO 01 - RCL01$   
2nd  $\sin \times RCL01 2nd \cos = \div 4 = STO 03 RCL02 +$   
 $RCL10 x^2 \div 19.6 \div RCL03 x^2 = STO 12 \div RCL11 = y^x$   
 $1.24 \pm \times RCL02 = STO 02 RCL11 - RCL12 = 2nd |x|$   
2nd  $x \geq t B RCL02 R/S$

2nd LBL C  $(RCL02 - RCL04 + (RCL07 - RCL07 2nd$   
 $\sin \times RCL07 2nd \cos) y^x 3 \div 128 \div RCL03 x^2 \div$   
 $RCL07 2nd \sin) STO 13 ((1 - RCL07 2nd \cos) \div 2$   
 $+ (RCL07 - RCL07 2nd \sin \times RCL07 2nd \cos) \div 8$   
 $\div RCL07 2nd \sin) STO 14 \div RCL13 = 1/x y^x .5 \times$   
 $RCL07 = STO 07 RCL13 - RCL14 = 2nd |x| 2nd x \geq t$   
 $C RCL07 - RCL07 2nd \sin \times RCL07 2nd \cos = y^x 3$   
 $\times 9.8 \div 64 \div RCL07 2nd \sin = \sqrt{x} STO 10 R/S$

2nd LBL D  $1 - 2 \times RCL22 = INV 2nd \cos STO 21 - RCL21$   
2nd  $\sin \times RCL21 2nd \cos = \div 4 = STO 23 RCL22 +$   
 $RCL10 x^2 \div 19.6 \div RCL23 x^2 = STO 24 RCL15 + RCL00$   
 $= STO 25 \div RCL24 = 1/x y^x .6 \times RCL22 = STO 22$   
 $RCL25 - RCL24 = 2nd |x| 2nd x \geq t D RCL22 R/S$

2nd LBL E  $1 - 2 \times RCL22 = INV 2nd \cos STO 21 - RCL21$   
2nd  $\sin \times RCL21 2nd \cos = \div 4 = STO 23 RCL22 +$   
 $RCL10 x^2 \div 19.6 \div RCL23 x^2 = STO 24 RCL15 + RCL00$   
 $= STO 25 \div RCL24 = 1/x y^x .6 \times RCL22 = STO 22$   
 $RCL25 - RCL24 = 2nd |x| 2nd x \geq t E RCL22 R/S$

2nd LBL F  $1 - 2 \times RCL22 = INV 2nd \cos STO 21 - RCL21$   
2nd  $\sin \times RCL21 2nd \cos = \div 4 = STO 23 RCL22 +$   
 $RCL10 x^2 \div 19.6 \div RCL23 x^2 = STO 24 RCL15 + RCL00$   
 $= STO 25 \div RCL24 = 1/x y^x .6 \times RCL22 = STO 22$   
 $RCL25 - RCL24 = 2nd |x| 2nd x \geq t F RCL22 R/S$

Comment utiliser le programme :

stocker :  $Q_I = \frac{Q}{D^{2,5}}$  en mémoire 10

- une valeur approximative de  $k_I$  en mémoire 06
- $a'_I$  en mémoire 04
- $a''_I$  -" -" 15
- la précision voulue en  $x \in t$

Appuyer sur :

A affiche la valeur exacte de  $k_I$

RCL 06 affiche  $k_I$

RCL 00 -"  $H_{k_I}$

RCL 11 -"  $\tilde{H}_{f_I}$

RCL 02 affiche une valeur approximative de  $h_{f_I}$

RCL 07 affiche  $\varphi_k$

RCL 08 -"  $A_{k_I}$

RCL 09 -"  $v_{k_I}$

Appuyer sur ;

B affiche la valeur exacte de  $h_{f_I}$

RCL 02 affiche  $h_{f_I}$

RCL 01 -"  $\varphi_f$

RCL 03 -"  $A_{f_I}$

RCL 12 -"  $H_{f_I}$

Appuyer sur :

C affiche  $Q_I$

RCL 10 ->  $Q_I$

RCL 07 ->  $\varphi_k$

RCL 13 ->  $H_{kI}$  en application de (10)

RCL 14 ->  $H_{kI}$  en application de (8<sub>k</sub>)

Appuyer sur :

D affiche  $h_{tI}$

RCL 22 affiche  $h_{tI}$

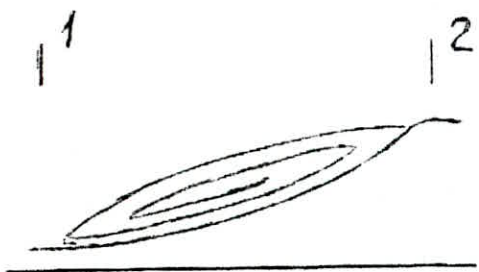
RCL 23 ->  $A_{tI}$

RCL 21 ->  $\varphi_t$

RCL 24 ->  $H_{tI}$  en application de (4<sub>t</sub>)

RCL 25 ->  $H_{tI}$  en application de (1'<sub>t</sub>)

## Etude du ressaut -



Le changement de régime, à l'aval de la section 1-1 de la figure ci-contre, se fait par un ressaut régi par la loi d'équilibre hydro-dynamique exprimé par le théorème des quantités de mouvement. Du fait que le ressaut étudié se produit sur un tronçon horizontal, la composante tangentielle du poids propre de la tranche de liquide qu'il occupe est nulle. Dans l'étude du phénomène nous appliquons l'équation des quantités de mouvement qui exprime l'équilibre dynamique entre toutes les forces extérieures appliquées à la masse liquide, et la résultante des quantités de mouvement entrant et sortant par les sections initiale et finale du ressaut. Les forces extérieures appliquées sont :

- Le poids de la masse liquide considéré.
- La réaction des parois du canal entre les sections 1 et 2.
- La pression totale sur les dites sections.
- La résistance de l'air sur la surface libre.

Par convention les quantités de mouvement sortant sont positives et celles entrant sont négatives

Sous sa forme vectorielle, l'équation des quantités de mouvement s'écrit :

$$\Sigma \vec{F} = \rho Q (\vec{v}_2 - \vec{v}_1) \quad (12)$$

en admettant que le facteur de correction de la quantité de mouvement est égal à l'unité

$$(\beta_2 = \beta_1 = 1)$$

Nous ne retiendrons que l'équation scalaire se référant au module de la composante suivant le sens de l'écoulement considéré. La projection horizontale des composantes de la résultante des forces extérieures se limite, dans notre cas, à la somme des forces de pression exercées sur les sections 1 et 2 en admettant que la résistance de l'air sur la surface libre est négligeable. Compte tenu de ces considérations, l'équation (12) devient :

$$\bar{P}_1 A_1 - \bar{P}_2 A_2 = \rho Q (v_2 - v_1) \quad \text{où}$$

$\bar{P}_1 = \rho g \bar{h}_1$  est la pression agissant au centre de gravité de la section 1.

$\bar{h}_1$  est la position du centre de gravité de la section 1, comptée à partir de la surface libre.

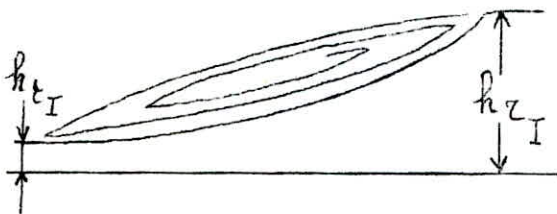
$\bar{P}_2 = \rho g \bar{h}_2$  est la pression agissant au centre de gravité de la section 2.

$\bar{h}_2$  est la position du centre de gravité de la section 2, comptée à partir de la sur-

face libre.

Application au canal circulaire partiellement mouillé de diamètre  $D = 1 \text{ m}$ .

$l_{t_1}$        $l_{r_1}$



$l_{t_2}$        $l_{r_2}$

Désignons par  $A_{t_1}$  l'aire de la section mouillée au début du ressaut et par  $A_{r_1}$  l'aire de la section mouillée à l'aval immédiat du ressaut ; comme il a été précisé précédemment, la position des centres de gravité de ces dites sections est donnée par la distance verticale comptée à partir de la surface libre ; nous avons respectivement pour  $A_{t_1}$  et  $A_{r_1}$  :

$$\bar{h}_{t_1} = \frac{-\sin^3 \varphi_t}{12 A_t} - \frac{\cos \varphi_t}{2} \quad (12_t)$$

$$\bar{h}_{r_1} = \frac{-\sin^3 \varphi_r}{12 A_r} - \frac{\cos \varphi_r}{2} \quad (12_r)$$

En appliquant le théorème des quantités de mouvement au liquide en écoulement occupant

le domaine situé entre les sections 1 et 1<sub>r</sub>,  
on écrit :

$$\rho g (\bar{h}_{t_I} \cdot A_{t_I} - \bar{h}_{r_I} \cdot A_{r_I}) = \rho Q_I^2 \left( \frac{1}{A_{r_I}} - \frac{1}{A_{t_I}} \right) \text{ - Soit}$$

$$\bar{h}_{t_I} \cdot A_{t_I} - \bar{h}_{r_I} \cdot A_{r_I} = \frac{Q_I^2}{g} \left( \frac{1}{A_{r_I}} - \frac{1}{A_{t_I}} \right) \text{ ou bien}$$

$$\bar{h}_{t_I} \cdot A_{t_I} + \frac{Q_I^2}{g A_{t_I}} = Z = \bar{h}_{r_I} \cdot A_{r_I} + \frac{Q_I^2}{g A_{r_I}} \quad (13)$$

en éliminant  $\bar{h}$  entre (12<sub>t,r</sub>) et (13) on tire :

$$Z = \frac{-\sin^3 \varphi}{12} - \frac{\varphi - \sin \varphi \cdot \cos \varphi}{8} \cdot \cos \varphi + \frac{4 Q_I^2}{g(\varphi - \sin \varphi \cdot \cos \varphi)} \quad (14)$$

cette relation est valable aussi bien pour le régime torrentiel que pour le régime fluvial.

nous rappelons que  $\varphi = \arccos(1 - 2 h_I)$  -

Z est donc fonction de la profondeur  $h_I$  et du débit  $Q_I$ .

en représentant z en fonction de  $h_I$  dans un système de coordonnées à divisions logarithmiques (pour un débit  $Q_I$  donné) et en posant  $x = \log z$  et  $y = \log h_I$ , on peut déterminer la valeur de la tangente de la courbe représentant  $y = f(x)$  (15) dans un point quelconque ayant pour ordonnée une valeur  $\log h_I$  arbitrairement choisie, on a :

$$y' = \frac{\partial y}{\partial \varphi} = \frac{\partial \log h_I}{\partial \varphi} = \frac{\frac{1}{2} \cdot \sin \varphi}{\frac{1}{2}(1 - \cos \varphi) \ln 10} = \frac{\sin \varphi}{(1 - \cos \varphi) \ln 10} \quad (15')$$

$$\text{et } x' = \frac{\partial x}{\partial \varphi} = \frac{\partial \log z}{\partial \varphi}$$

$$Z' = \frac{\partial Z}{\partial \varphi} = \frac{\varphi - \sin \varphi \cdot \cos \varphi}{8} \cdot \sin \varphi - \frac{8Q^2}{g} \cdot \frac{-\sin^2 \varphi}{(\varphi - \sin \varphi \cdot \cos \varphi)^2}$$

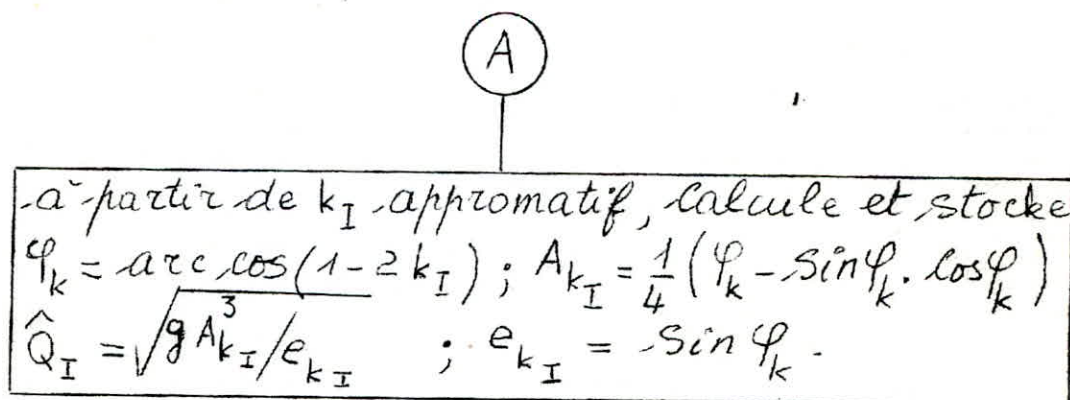
Ainsi :

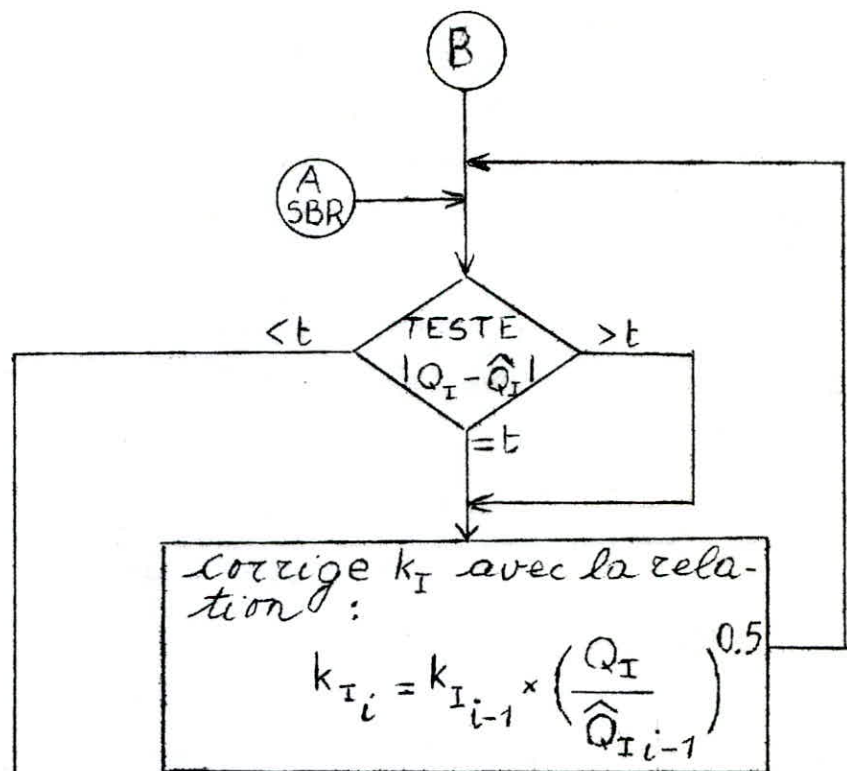
$$x' = \frac{\varphi - \sin \varphi \cdot \cos \varphi}{8} \cdot \sin \varphi - \frac{8Q^2 \sin^2 \varphi}{g(\varphi - \sin \varphi \cdot \cos \varphi)^2}$$

$$\text{En 10. } \left( \frac{-\sin^3 \varphi}{12} - \frac{\varphi - \sin \varphi \cdot \cos \varphi}{8} \cdot \cos \varphi + \frac{4Q^2}{g} \cdot \frac{1}{\varphi - \sin \varphi \cdot \cos \varphi} \right)$$

La valeur de la tangente  $\vartheta = \frac{y'}{x'}$  ainsi déterminée en fonction de l'ordonnée  $\log h_I$  sera introduite dans le programme destiné à la solution de l'équation et par voie de conséquence à la solution du problème du ressaut en conduite circulaire. Le programme ainsi que l'organigramme montrant les différentes étapes de calcul sont les suivants :

### Organigramme :





→ stocke :  $\varphi_k$ ;  $A_{k_I}$ ;  $k_I$ . calcule et  
stocke  $H_{k_I} = k_I + A_{k_I}/e_{k_I}$   
 $P_{h_{k_I}} = \frac{k^2}{h_{k_I}}$  affiche  $k_I$



Calcule avec la valeur stockée de  $h_{t_I}$  :

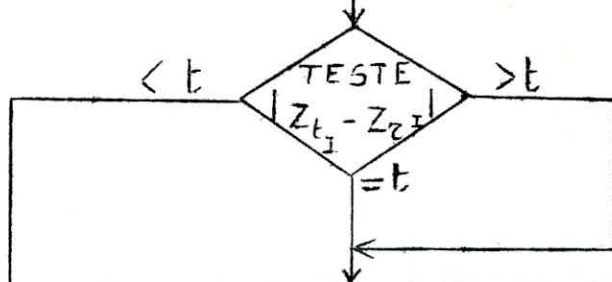
$$A_{t_I} = \frac{1}{4} (\varphi_t - \sin \varphi_t \cdot \cos \varphi_t) \text{ avec } \varphi_t = \arccos(1 - 2h_{t_I})$$

$$\bar{h}_{t_I} = \frac{-\sin^3 \varphi_t}{12 A_{t_I}} - \frac{\cos \varphi_t}{2}; Z_{t_I} = \bar{h}_{t_I} \cdot A_{t_I} + \frac{Q_I^2}{g A_{t_I}}$$

stocke :  $\varphi_t$ ;  $A_{t_I}$ ;  $\bar{h}_{t_I}$ ;  $Z_{t_I}$  -

D

- avec  $h_{r_I}$  approximatif de B  
 - calcule :  $\varphi_r = \arccos(1 - 2h_{r_I})$   
 $\vartheta = f(\varphi_r)$ ;  $A_{r_I} = f(\varphi_r)$ ;  
 $\bar{h}_{r_I} = f(\varphi_r)$ ;  $Z_{r_I} = f(\varphi_r, Q_I)$



- corrige  $h_{r_I}$  avec la relation :

$$h_{r_I,i} = h_{r_I,i-1} \times \left( \frac{Z_{t_I}}{Z_{r_I,i-1}} \right)^\vartheta$$

- stocke :  $\varphi_r, \vartheta, A_{r_I}, h_{r_I}$   
 $Z_{r_I}, h_{r_I}$ .  
 - affiche  $h_{r_I}$

E

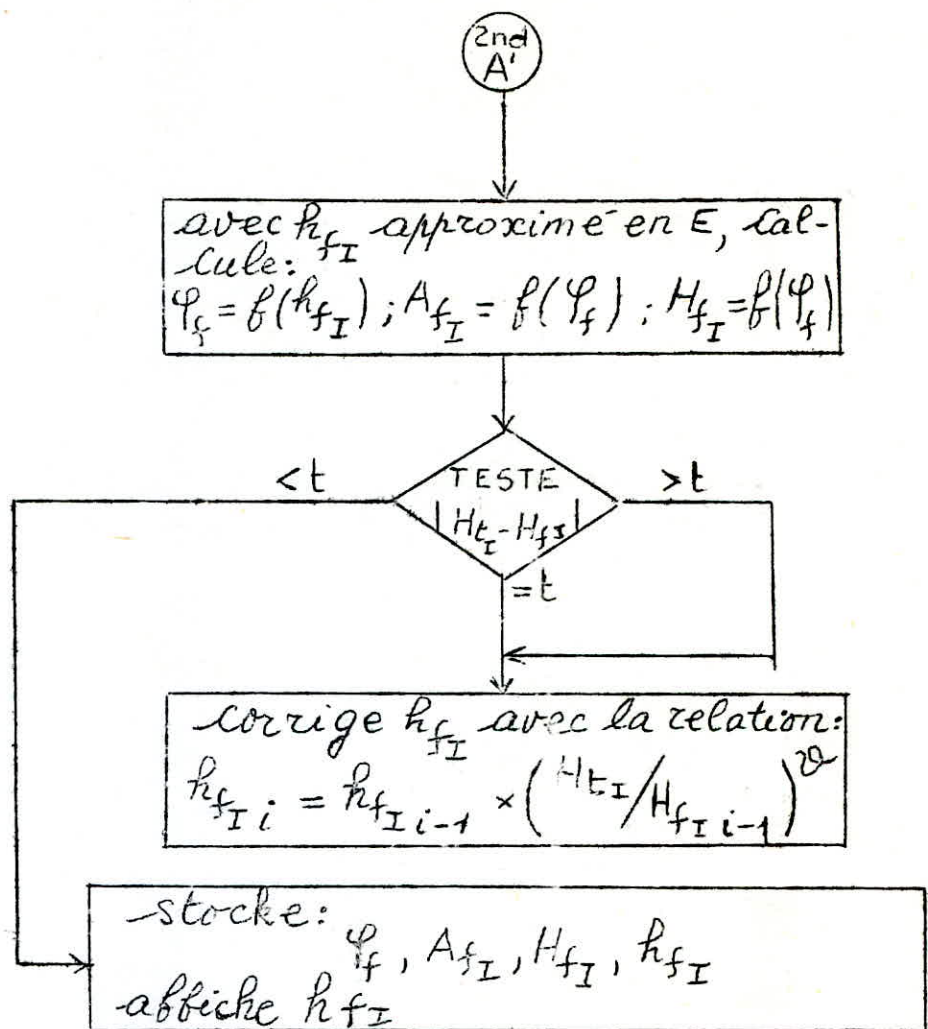
- calcule et stocke :

$$H_{r_I} = h_{r_I} + \frac{Q_I^2}{2gA_{r_I}^2}$$

$$H_{t_I} = h_{t_I} + \frac{Q_I^2}{2gA_{t_I}^2}$$

$$\Delta H_I = H_{t_I} - H_{r_I}$$

$$h_{f_I} (\text{approximatif}) = \sqrt{H_{t_I} \times H_{r_I}}$$



## Programme:

2nd LBL A 2nd Rad  $(1 - 2 \times RCL06) \text{INV} 2nd \cos$   
STO 07  $((RCL07 - RCL07 \text{2nd } \sin \times RCL07 \text{ 2nd } \cos) \div 4)$  STO 08  $(RCL08 y^x 3 \times 9.8 \div RCL07 \text{ 2nd } \sin) \sqrt{x}$  STO 05 INV SBR

2nd LBL B A  $RCL10 \div RCL05 = \sqrt{x} \times RCL06 = STO 06$   
 $RCL10 - RCL05 = 2nd |x| \text{ 2nd } x \geq t \text{ B } RCL$   
 $06 x^2 \div RCL01 = STO 11 RCL06 + RCL08 \div 2 \div$   
 $RCL07 \text{ 2nd } \sin = STO 00 \text{ R/S}$

2nd LBL C  $1 - 2 \times RCL01 = \text{INV } 2nd \cos$  STO 02 -  
 $RCL02 \text{ 2nd } \sin \times RCL02 \text{ 2nd } \cos = \div 4 = STO 03$   
 $RCL02 \text{ 2nd } \sin y^x 3 \div 12 \div RCL03 - RCL02 \text{ 2nd } \cos \div 2 = STO 04 \times RCL03 + RCL10 x^2 \div 9.8 \div$   
 $RCL03 = STO 15 \text{ R/S}$

2nd LBL D  $1 - 2 \times RCL11 = \text{INV}, \cos$  STO 12 2nd  
 $\sin y^x 3 = STO 21 RCL12 - RCL12 \text{ 2nd } \sin \times$   
 $RCL12 \text{ 2nd } \cos = STO 22 RCL12 \text{ 2nd } \sin \div$   
 $(1 - RCL12 \text{ 2nd } \cos) = STO 23 (RCL21 \div 12 -$   
 $RCL22 \times RCL12 \text{ 2nd } \cos \div 8 + 4 \times RCL10 x^2 \div 9.8$   
 $\div RCL22) \text{ STO 24 } (RCL22 \times RCL11 \text{ 2nd } \sin \div 8 -$   
 $8 \times RCL10 x^2 \div 9.8 \times RCL11 \text{ 2nd } \sin x^2 \div RCL22 x^2)$   
STO 25  $(RCL23 \times RCL24 \div RCL25) \text{ STO 19}$   
 $RCL12 - RCL12 \text{ 2nd } \sin \times RCL12 \text{ 2nd } \cos =$

$\div 4 = \text{STO } 13 \text{ RCL } 12 \text{ 2nd Sin } y^2 3 \div 12 \div \text{RCL } 13$   
 $- \text{RCL } 12 \text{ 2nd Cos } \div 2 = \text{STO } 14 \times \text{RCL } 13 + \text{RCL } 10$   
 $x^2 \div 9.8 \div \text{RCL } 13 = \text{STO } 30 - \text{RCL } 15 = \frac{1}{x} y^2 \text{RCL}$   
 $19 \times \text{RCL } 11 = \text{STO } 11 \text{ RCL } 30 - \text{RCL } 15 = \text{2nd } |x|$   
 $\text{2nd } x \geq t \text{ D RCL } 11 \text{ R/S}$

$\text{2nd LBLE RCL } 11 + (\text{RCL } 10 \div \text{RCL } 13) x^2 \div 19.6$   
 $= \text{STO } 17 \text{ RCL } 01 + (\text{RCL } 10 \div \text{RCL } 03) x^2 \div 19.6$   
 $= \text{STO } 16 - \text{RCL } 17 = \text{STO } 18 \text{ RCL } 16 \times \text{RCL } 17 = \sqrt{x}$   
 $\text{STO } 20 \text{ RCL } 18 \text{ R/S}$

$\text{2nd LBL 2nd A' } 1 - 2 \times \text{RCL } 20 = \text{INV 2nd Cos}$   
 $\text{STO } 28 - \text{RCL } 20 \text{ 2nd Sin } \times \text{RCL } 28 \text{ 2nd Cos } \div$   
 $4 = \text{STO } 29 (\text{RCL } 10 \div \text{RCL } 29) x^2 \div 19.6 + \text{RCL } 20 =$   
 $\text{STO } 21 \div \text{RCL } 16 = \frac{1}{x} y^2 \text{RCL } 19 \times \text{RCL } 20 = \text{STO}$   
 $20 \text{ RCL } 16 - \text{RCL } 21 = \text{2nd } |x| \text{ 2nd } x \geq t \text{ 2nd A'}$   
 $\text{RCL } 20 \text{ R/S}$

## Comment utiliser le programme :

- stocker :
- $h_{t_I}$  en mémoire 01
  - une valeur approximative de  $k_I$  en mémoire 06
  - $Q_I = \frac{Q}{D^{2,5}}$  en mémoire 10

Appuyer sur :

A affiche  $Q_I$  calculé en application de (\*).

RCL 05 affiche  $Q_I$

RCL 07 -"  $\varphi_k$

RCL 08 -"  $A_{k_I}$

Appuyer sur :

B affiche  $H_{k_I}$

RCL 00 -"  $H_{k_I}$

RCL 06 -"  $k_I$

Appuyer sur :

C affiche Z

RCL 15 -"  $Z_{t_I}$

RCL 02 -"  $\varphi_t$

RCL 03 -"  $A_{t_I}$

RCL 04 -"  $\bar{h}_{t_I}$

Appuyer sur :

D affiche  $h_{r_I}$   
RCL 11 -"  $h_{r_I}$   
RCL 12 -"  $\varphi_r$   
RCL 19 -" 29  
RCL 13 -"  $A_{r_I}$   
RCL 14 -"  $\bar{h}_{r_I}$

Appuyer sur :

E affiche  $\Delta H_I$   
RCL 18 -"  $\Delta H_I$   
RCL 16 -"  $H_{t_I}$   
RCL 17 -"  $H_{r_I}$

Appuyer sur :

2nd A' affiche  $h_{f_I}$   
RCL 20 -"  $h_{f_I}$   
RCL 28 -"  $\varphi_f$   
RCL 29 -"  $A_{f_I}$   
RCL 21 -"  $H_{f_I}$

Procédé itératif utilisé pour la détermination de la profondeur  $h_{r_I}$  conjuguée de  $h_{t_I}$ .

Dans l'étude du ressaut, nous avons établi l'équation :

$$\bar{h}_{t_I} \cdot A_{t_I} + \frac{Q_I^2}{g A_{t_I}} = Z = \bar{h}_{r_I} \cdot A_{r_I} + \frac{Q_I^2}{g A_{r_I}}$$

Le tracé de la fonction  $Z$  en coordonnées logarithmiques, en posant  $y = \log h_I$  et  $x = \log Z$ , montre que la pente de la courbe est variable; nous avons désigné par  $\vartheta$  cette pente et son expression a déjà été établie précédemment.

Quand la profondeur  $h$  varie de  $\Delta h$ ,  $Z$  varie de  $\Delta h^{1/\vartheta}$ ; pour deux profondeurs données  $h_1$  et  $h_2$  correspondant à  $Z_1$  et  $Z_2$  on écrit :

$$\frac{h_1}{h_2} = \left( \frac{Z_1}{Z_2} \right)^{\vartheta}$$

La courbe  $h_I = f(Z)$  en coordonnées logarithmiques, montre que pour une même valeur de  $Z$  correspondent deux profondeurs qui sont conjuguées; l'une de ces profondeurs est désignée par

$h_{t_I}$  et correspond au régime torrentiel ( $h_{t_I} < k_I$ ), l'autre désignée par  $h_{r_I}$  correspond au régime fluvial ( $h_{r_I} > k_I$ ). L'un des problèmes qui se posent est la détermination de la profondeur  $h_{r_I}$  à l'aval du ressaut connaissant la profondeur conjugée  $h_{t_I}$  à l'amont.

Ce problème est résolu par approximations successives, dont le procédé est le suivant :

la valeur de  $h_{t_I}$  permet le calcul de  $Z_{t_I}$  y correspondant par application de la formule ainsi que le calcul d'une première valeur approximative de  $h_{r_I}$  par application de la relation :  $\frac{k_I}{h_{t_I}} = \frac{h_{r_I}}{k_I}$  qui donne :

$$h_{r_I} = \frac{k_I^2}{h_{t_I}} ; \text{ Soit } (h_{r_I})_1 \text{ cette première}$$

valeur approximative de  $h_{r_I}$ .

Avec  $(h_{r_I})_1$ , on détermine  $(Z_{r_I})_1$  et la pente  $\vartheta_1$ ; ainsi  $h_{r_I}$  en deuxième approximation sera :

$$(h_{r_I})_2 = (h_{r_I})_1 \times \left[ \frac{Z_{t_I}}{(Z_{r_I})_1} \right]^{\vartheta_1}$$

Avec  $(h_{\tau_I})_2$  on détermine  $(Z_{\tau_I})_2$  ainsi que la pente  $\vartheta_2$ : la troisième valeur approximative de  $h_{\tau_I}$  sera alors :

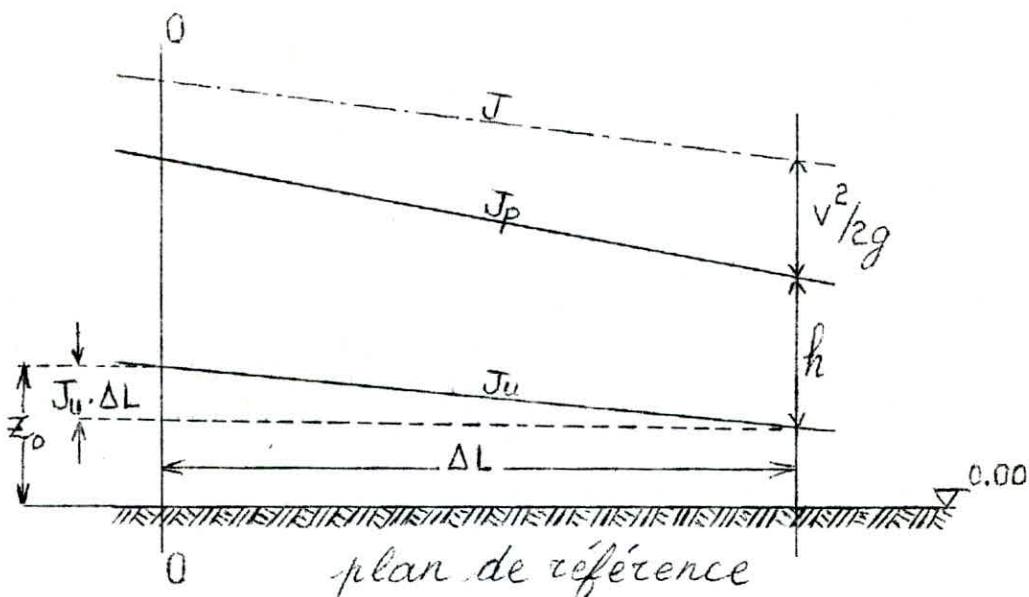
$$(h_{\tau_I})_3 = (h_{\tau_I})_2 \times \left[ \frac{Z_{t_I}}{(Z_{\tau_I})_2} \right]^{\vartheta_2}$$

le procédé itératif se poursuit jusqu'à une valeur :

$$(h_{\tau_I})_i = (h_{\tau_I})_{i-1} \times \left[ \frac{Z_{t_I}}{(Z_{\tau_I})_{i-1}} \right]^{\vartheta_{i-1}}$$

satisfaisant la relation  $Z_{t_I} = Z_{\tau_I}$

## Détermination du profil en long de la surface libre -



L'écoulement étudié étant graduellement non uniforme les pentes  $J_u$  du fond de la conduite  $J_p$  de la surface libre (pente piezométrique) et  $J$  de la ligne de charge totale ne sont pas égales.

On peut déterminer les éléments caractéristiques d'un écoulement non uniforme par la méthode de l'intégration numérique ; ce procédé n'est applicable qu'aux écoulements passant par des canaux à profil sec constant et à pente géométrique invariable. Il est basé sur une équation différentielle établie entre la longueur  $L$  et la profondeur  $h$  et sur l'intégration consécutive de celle-ci en faisant tendre  $\Delta L$  vers zéro (Voir figure ci-dessus) la variation de la charge totale

par unité de longueur se confond avec le gradient  $J$  de la perte de charge, c'est à dire :

$$J = -\frac{d}{dL} \left( \frac{V^2}{2g} + z_0 - J_u \cdot L + h \right) \quad (17)$$

$z_0$  désignant la côte du fond du canal dans la section déterminée par  $L=0$ .

En exécutant la dérivation, l'équation ci-dessus indiquée devient :

$$J = -\frac{V}{g} \frac{dV}{dL} + J_u - \frac{dh}{dL} \quad (17')$$

En application de l'équation de continuité on a pour un écoulement permanent :

$$V \cdot A = Q = \text{constante}$$

en dérivant cette dernière équation suivant  $L$  on tire :

$$\frac{dV}{dL} \cdot A + V \cdot \frac{dA}{dL} = 0 \quad \text{et en désignant}$$

par  $e$  la largeur du plan d'eau, on écrit :

$$dA = e \cdot dh \quad \text{ainsi :}$$

$$\frac{dV}{dL} = -\frac{Ve}{A} \cdot \frac{dh}{dL} = -\frac{Q}{A^2} \cdot \frac{dh}{dL}$$

en éliminant  $\frac{dV}{dL}$  entre cette dernière

équation et (17') et en exprimant  $V$  par l'équation de continuité, on tire :

$$\frac{Q^2 e}{g A^3} \cdot \frac{dh}{dL} + J_u - \frac{dh}{dL} = J$$

en exprimant  $dL$  de cette dernière équation

on obtient :

$$dL = \frac{1 - Q^2 e / g A^3}{J_u - J} dh \quad (16)$$

Lorsque le numérateur de la fonction ci-dessus est égal à zéro, l'écoulement devient critique en vertu de l'équation

$$\frac{Q^2 e}{g A^3} = 1$$

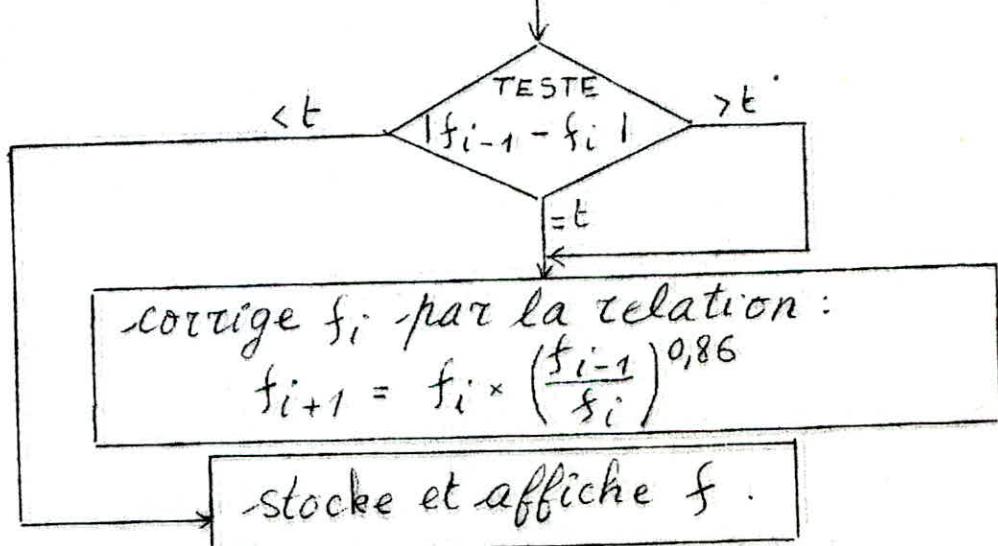
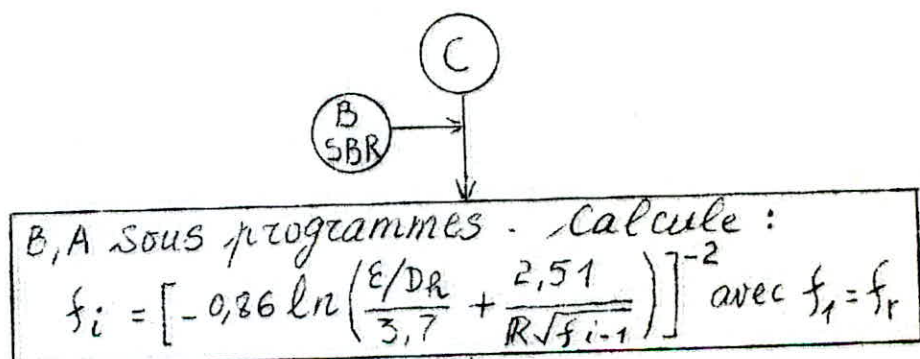
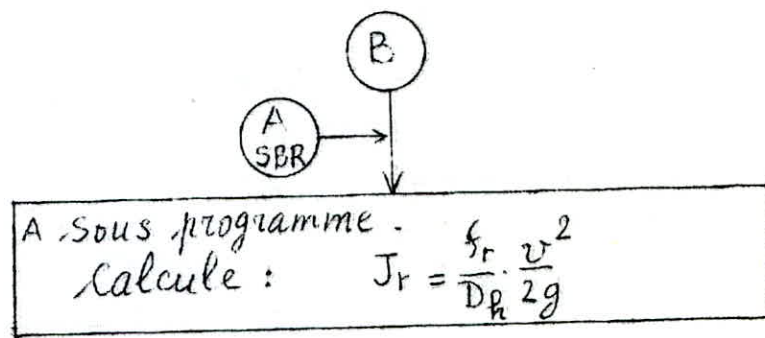
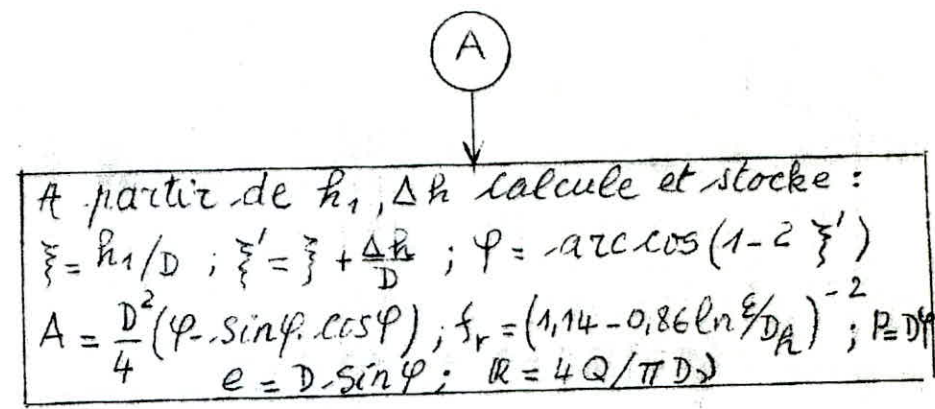
et il ne peut pas exister de variation graduelle de la profondeur lors du passage du régime torrentiel en fluvial ; par conséquent les équations ci-dessus exposées doivent être judicieusement appliquées lorsque les profondeurs d'eau sont proches de la profondeur critique. Lorsque le dénominateur de la fonction est égal à zéro, l'écoulement devient uniforme ( $J = J_u$ ).

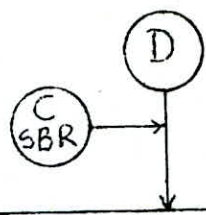
Pour un canal à section droite constante et à pente géométrique invariable, la fonction (16) ne dépend que de la profondeur  $h$ .

Un programme (ainsi qu'un organigramme) applicable au calculateur de poche du type TI 59, a été établi ; il permet la détermination du profil en long de la surface libre d'un écoulement en régime de transition (trace de la courbe de remous).

(voir pages suivantes) .

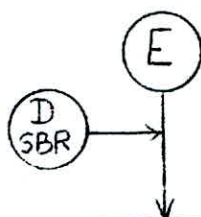
## Programme :





utilise :  
 f calculé en C  
 Jr calculé en B  
 fr calculé en A

$$\text{calcule : } J = \frac{f}{f_r} \cdot J_r$$



calcule et stocke :  $\Delta L = \frac{1 - Q^2 e / g A^3}{J_u - J} \Delta h$

cumule  $\Delta h$  et  $\Delta L$   
 compte le nombre de pas (N)  
 affiche  $\sum \Delta L$



annule les registres de cumul  
 pour faire repartir l'intégration  
 de zéro.

## Programme :

2nd LBL A 2nd Rad ( RCL 24 ÷ RCL 03 ) STO 04  
( RCL 14 ÷ RCL 03 ) STO 20 ( RCL 04 + RCL 20 ÷ 2 )  
STO 22 ( 1 - 2 × RCL 22 ) INV 2nd cos STO 06 (( RCL 06  
- RCL 06 2nd cos × RCL 06 2nd sin ) × RCL 03  $x^2$ )  
STO 07 ( RCL 03 × RCL 06 ) STO 08 ( RCL 03 × RCL 06  
2nd sin ) STO 21 ( RCL 07 ÷ RCL 08 ) STO 09 ( RCL 05  
÷ RCL 09 ) STO 10 ( 4 × RCL 01 ÷ RCL 08 ÷ RCL 00 )  
STO 15 ( RCL 10 ln x × .86 - 1.14 )  $x^2 \frac{1}{x}$  STO 11  
STO 13 INV SBR  
2nd LBL B A ( RCL 11 ÷ RCL 09 × RCL 01  $x^2$  ÷ RCL 07  
 $x^2$  ÷ 1.225 ) STO 12 INV SBR  
2nd LBL C B (( 2.51 ÷ RCL 15 ÷ RCL 11  $\sqrt{x}$  + RCL 10  
÷ 3.7 ) ln x × .86 )  $x^2 \frac{1}{x}$  STO 17 (( RCL 17 ÷ RCL 11 )  
 $y^x$  .86 × RCL 11 ) STO 11 ( RCL 17 - RCL 11 ) 2nd |x|  
2nd  $x \geq t$  RCL 11 INV SBR  
2nd LBL D C ( RCL 11 ÷ RCL 13 × RCL 12 ) STO 19 INV SBR  
2nd LBL E D ( 1 - RCL 01  $x^2$  ÷ 9.8 × RCL 21 × 64 ÷  
RCL 07  $y^x$  3 ) ÷ ( RCL 02 - RCL 19 ) × RCL 14 =  
SUM 16 1 SUM 18 RCL 14 SUM 24 RCL 20 SUM 22  
RCL 16 R/S  
2nd LBL 2nd A' 0 STO 16 STO 18 STO 04 RCL 34  
STO 24 R/S

## -Comment utiliser le programme :

- stocker :  $h_1$   $J_u$   $D$   $\Delta h$   $\varepsilon$   $\checkmark$   $Q$  <sup>précision voulue</sup>

en mémoire: 24 et 34 02 03 14 05 00 01  $x \geq t$

d'appuyer sur: E affiche  $\Sigma \Delta L$

d'appuyer sur: RCL 18 RCL 24 RCL 20 RCL 22 RCL 16

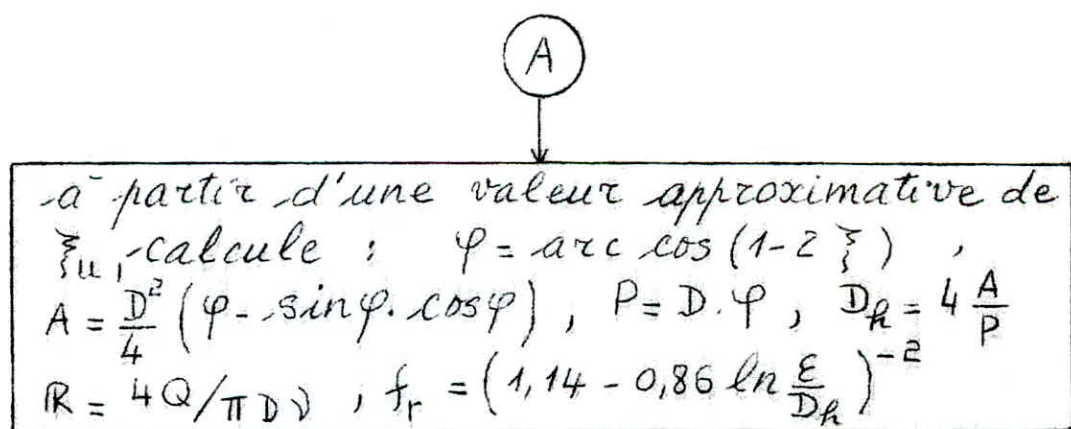
- affiche:  $N$   $h$   $\frac{\Delta h}{D}$   $\Sigma \Delta L$

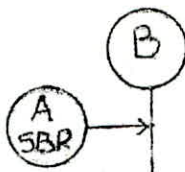
- Les séquences A, B, C et D sont utilisées en sous programmes
- La séquence 2nd A' fait repartir l'intégration de zéro.

N.B Ne pas oublier d'appuyer sur 2nd A' pour faire repartir l'intégration.

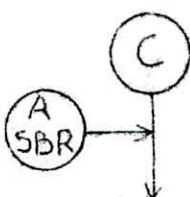
Vous joignez ci-après un programme, applicable au calculateur de poche du type TI 59, permettant la détermination des caractéristiques d'un écoulement (Section mouillée, diamètre hydraulique, gradient de la perte de charge, débit etc...), aussi bien en régime turbulent rugueux qu'en régime de transition, se produisant dans une conduite circulaire partiellement mouillée, de diamètre D quelconque.

L'organigramme montrant les différentes étapes de calcul est le suivant :

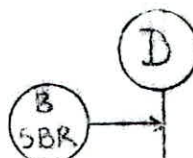




calcule et stocke, en utilisant la séquence A en sous programme :  $J_r = \frac{f_r}{D_h} \cdot Q^2 / 2gA^2$



calcule et stocke, en utilisant la séquence A en sous programme

$$Q_r = \sqrt{2g J_u D_h A^3 / f_r}$$


$$|J_r - J_u|$$

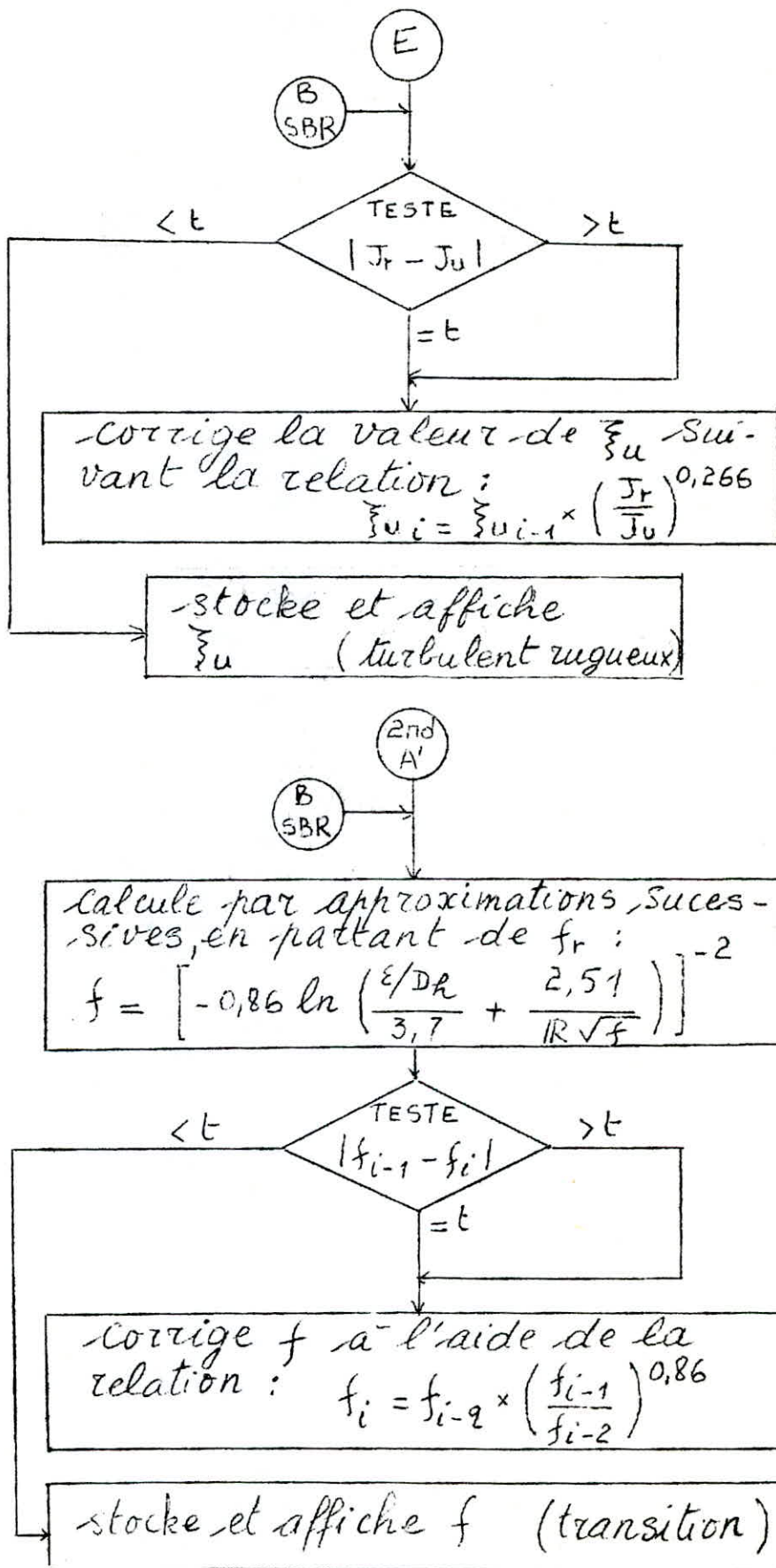
$>t$

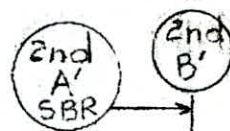
$=t$

$< t$

corrige la valeur de  $D_{hu}$  suivant la relation :  $D_{hu_i} = D_{hu_{i-1}} \times \left(\frac{J_r}{J_u}\right)^{0,187}$

- stocke et affiche  $D_{hu}$  (turbulent rugueux)





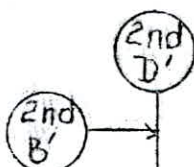
calcule, stocke et affiche :

$$J = \frac{f}{f_r} \cdot J_r \quad (\text{transition})$$



calcule, stocke et affiche :

$$Q = 4A \sqrt{\frac{1,225 \cdot J_u D_h}{f}} \quad (\text{transition})$$



$< t$

TESTE  
 $|J - J_{ul}|$

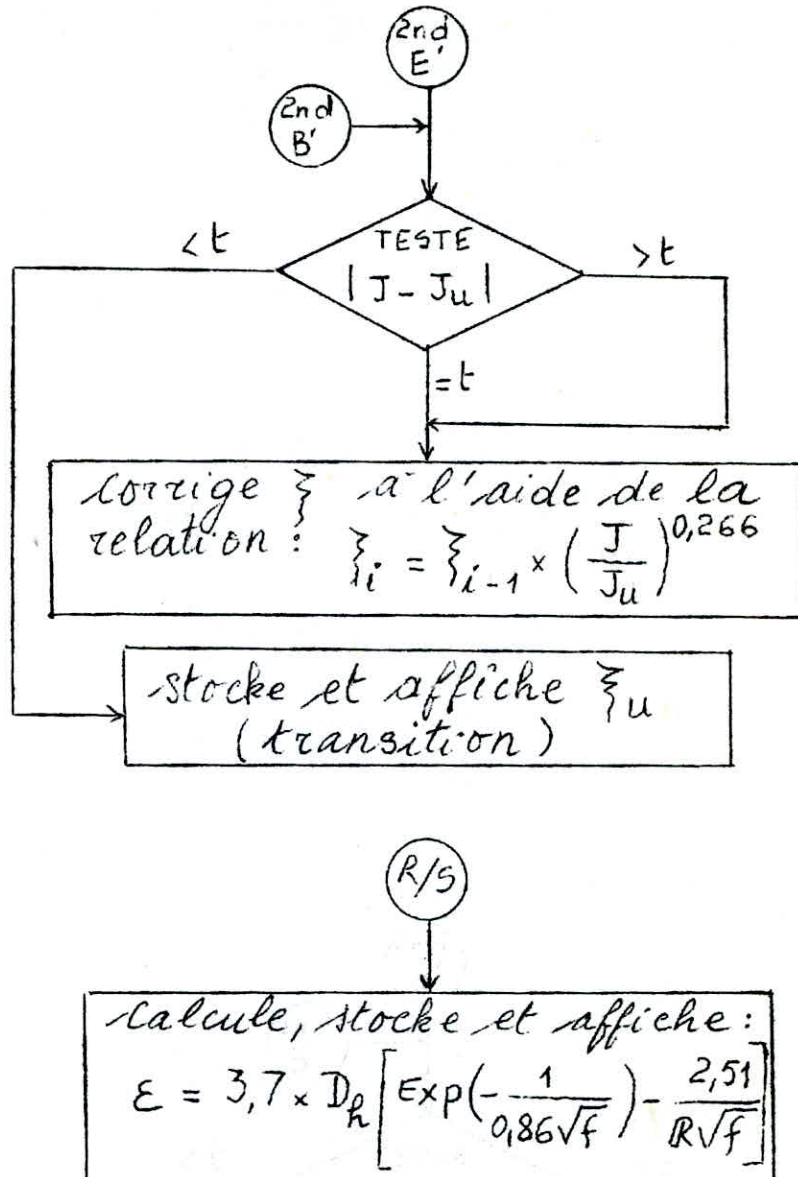
$> t$

$= t$

corrige  $D_h$  à l'aide de la relation :

$$D_{hi} = D_{hi-1} \times \left( \frac{J}{J_u} \right)^{0,187}$$

stocke et affiche  $D_h$  en transition.



## Programme

2nd LBL A 2nd Rad  $(1 - 2 \times RCL 24) INV 2nd \cos$   
STO 06  $((RCL 06 - RCL 06 2nd \cos \times RCL 06 2nd \sin)$   
 $\times RCL 23 x^2) STO 07 (RCL 23 \times RCL 06) STO 08$   
 $(RCL 07 \div RCL 08) STO 09 (RCL 05 \div RCL 09) STO 10$   
 $(4 \times RCL 21 \div RCL 08 \div RCL 00) STO 15 (RCL 10 \ln x$   
 $\times .86 - 1.14) \frac{1}{x} STO 11 STO 13 INV SBR$   
2nd LBL B A  $(RCL 11 \div RCL 09 \times RCL 21 x^2 \div RCL 07$   
 $x^2 \div 1.225) STO 22 INV SBR$   
2nd LBL C A  $RCL 02 \times RCL 09 \times 1.225 \div RCL 11 =$   
 $\sqrt{x} \times RCL 07 = STO 21 R/S$   
2nd LBL D B  $RCL 22 \div RCL 02 = y^x .187 \times RCL 23$   
 $= STO 23 RCL 22 - RCL 02 = 2nd |x| 2nd x \geq t$   
E RCL 24 R/S  
2nd LBL 2nd A' B  $1.14 - RCL 11 \sqrt{x} \frac{1}{x} = \div .86$   
 $= INV \ln x \times RCL 09 = STO 25 R/S$   
 $((2.51 \div RCL 15 \div RCL 11 \sqrt{x} + RCL 10 \div 3.7) \ln x$   
 $\times .86) x^2 \frac{1}{x} STO 17 ((RCL 17 \div RCL 11) y^x .86$   
 $\times RCL 11) STO 11 (RCL 17 - RCL 11) 2nd |x| 2nd$   
 $x \geq t RCL 11 INV SBR$   
2nd LBL 2nd B' 2nd A'  $(RCL 11 \div RCL 13 \times RCL 22)$   
STO 32 INV SBR  
2nd LBL 2nd C' 2nd A'  $RCL 02 \times RCL 09 \times$

$$1.225 \div RCL 11 = \sqrt{x} \times RCL 07 = STO 31 R/S$$

$$2nd LBL 2nd D' 2nd B' RCL 32 \div RCL 02 =$$

$$y^x \cdot 187 \times RCL 03 = STO 03 RCL 32 - RCL 02$$

$$= 2nd |x| 2nd x \geq t 2nd D' RCL 03 STO 33 R/S$$

$$2nd LBL 2nd E' 2nd B' RCL 32 \div RCL 02 =$$

$$y^x \cdot 266 \times RCL 24 = STO 24 RCL 32 - RCL 02$$

$$= 2nd |x| 2nd x \geq t 2nd E' RCL 24 STO 34 RCL 44 STO 24 RCL 34 R/S.$$

$$\cdot 86 \frac{1}{x} \div RCL 11 \sqrt{x} = INV \ln x - 2.51 \div RCL 15 \\ \div RCL 11 \sqrt{x} = x 3.7 \times RCL 07 \div 4 = STO 35 R/S$$

### utilisation du programme :

stocker :  $\checkmark$   $J_u$   $D$   $E$   $\tilde{\gamma}$   $Q$

en mémoire : 00 02 03 05 04 01  
33 24 21

a) Le régime est turbulent rugueux :

appuyer sur : A B C D E R/S

affiche :  $f_r$   $J_r$   $\hat{Q}_r$   $\hat{D}_r$   $\tilde{\gamma}$   $\hat{\epsilon}_r$

on trouve en RCL :

06 07 08 09 10 15

$\varphi$  4A P  $D_{hr}$   $\epsilon/D_{hr}$   $R_r$

b) l'écoulement est en régime de transition:

Appuyer sur : 2nd A' 2nd B' 2nd C' 2nd D'

affiche : f J  $\hat{Q}$   $D_h$

Appuyer sur : 2nd E' R/S

affiche :  $\xi$   $\epsilon$

On retrouve en RCL :

11 32 31 33 34 35

f J  $\hat{Q}$   $D_h$   $\xi$   $\epsilon$

CHAP III

ou bien :  $\frac{P_1 - P_2}{\bar{\omega}} = \frac{V_2^2 - V_1^2}{2g}$

de l'équation de continuité  $A_1 V_1 = A_2 V_2 = Q$

on tire :

$$V_1^2 = \left(\frac{A_2}{A_1}\right)^2 \cdot V_2^2 \quad \text{d'où l'on peut écrire que :}$$

$$\frac{P_1 - P_2}{\bar{\omega}} = \frac{V_2^2}{2g} \left[ 1 - \left(\frac{A_2}{A_1}\right)^2 \right] \quad \text{ainsi :}$$

$$V_2 = \frac{\sqrt{2g}}{\sqrt{1 - \left(\frac{A_2}{A_1}\right)^2}} \cdot \sqrt{\frac{P_1 - P_2}{\bar{\omega}}}$$

Le débit véhiculé par la conduite est :

$$Q = A_2 \cdot V_2 ; \text{ sachant que } \frac{P_1 - P_2}{\bar{\omega}} = \Delta h$$

on écrit que :

$$Q = A_2 \cdot \sqrt{\frac{2g}{1 - \left(\frac{A_2}{A_1}\right)^2}} \cdot \sqrt{\Delta h}$$

en posant  $C = \sqrt{\frac{2g}{1 - \left(\frac{A_2}{A_1}\right)^2}}$  la relation

ci-dessus s'écrit :

$$Q = C \cdot A_2 \sqrt{\Delta h}$$

C'est donc le coefficient de débit.

## Etalonnage du débitmètre.

Le débitmètre à Segment dont nous disposons a un diamètre  $D_1 = 4,2 \text{ cm}$ ; l'étalonnage a été effectué en faisant passer différents débits que nous avons déterminés par mesure volumétrique; ainsi le débit est donné par le quotient du volume d'eau recueilli dans une capacité jaugeée par le temps nécessaire à l'obtention de ce volume:

$$Q = \frac{V}{t} ;$$

à chaque débit qui passe dans l'appareil correspond une différence de hauteurs piezométriques  $\Delta h$  que nous lisons sur le piezomètre. Nous disposons ainsi d'une série de valeurs de débits  $Q$  et des  $\Delta h$  y correspondants qui nous a permis d'établir la courbe d'étalonnage du débitmètre utilisé. Théoriquement, la courbe du débit  $Q$  en fonction de la différence des hauteurs piezométriques  $\Delta h$  a pour équation  $Q = a \Delta h^{0,5}$  avec :

$$a = A_2 \sqrt{\frac{2g}{1 - \left(\frac{A_2}{A_1}\right)^2}}$$

En disposant des valeurs numériques des sections  $A_1$  et  $A_2$ , le coefficient  $a$  serait alors déterminé; cependant dans la pratique, les mesures que l'on effectue sont inévitablement affectées d'une erreur (erreur systématique...); par voie de conséquence les coefficients, rencontrés dans la formule théorique, sont eux aussi affectés; disposant alors d'un ensemble de points  $\{(\Delta h_i, Q_i) \quad i = 1, 2, \dots, n\}$  déterminés expérimentalement, il s'agit de trouver l'équation de la courbe représentant le débit en fonction de  $\Delta h$  et qui satisfait le mieux les points trouvés; cela revient à effectuer un ajustement puissance puisque la fonction  $Q = a \Delta h^b$  est une fonction puissance; cependant, il serait commode de linéariser cette équation en appliquant le logarithme à chacun de ses deux membres: on écrit alors:

$$\log Q = b \log \Delta h + \log a \quad a > 0.$$

Il suffirait alors d'effectuer un ajustement linéaire.

les coefficients  $a$  et  $b$ , dits de régression,  
 $y$  sont donnés par les formules (ci-dessous  
indiquées) obtenues en application de la méthode  
des moindres carrés -

$$b = \frac{\sum (\ln \Delta h_i)(\ln Q_i) - \frac{(\sum \ln \Delta h_i)(\sum \ln Q_i)}{n}}{\sum (\ln \Delta h_i)^2 - \frac{(\sum \ln \Delta h_i)^2}{n}}$$

$$a = \text{EXP.} \left( \frac{\sum \ln Q_i}{n} - b \frac{\sum \ln \Delta h_i}{n} \right)$$

le coefficient  $r$ , dit de corrélation, est  
donné par :

$$r^2 = \frac{\left[ \sum (\ln \Delta h_i)(\ln Q_i) - \frac{(\sum \ln \Delta h_i)(\sum \ln Q_i)}{n} \right]^2}{\left[ \sum (\ln \Delta h_i)^2 - \frac{(\sum \ln \Delta h_i)^2}{n} \right] \left[ \sum (\ln Q_i)^2 - \frac{(\sum \ln Q_i)^2}{n} \right]}$$

L'application de ces formules, à l'aide  
d'un calculateur de poche du type  
"TI 59 programmable" a donné les  
résultats suivants :

$$b = 0,5117331006 \approx 0,512$$

$$a = 0,4022004445 \approx 0,402$$

$$r^2 = 0,9999846765$$

$$\text{Ainsi: } Q = 0,402 \Delta h^{0,512}$$

Le tableau d'étalonnage du débitmètre est  
donné à la page suivante.

Pression différentielle	Graduations capacité Jaugee.	VOLUME correspon- dant -	TEMPS	DEBITS correspon- dants.	MOYENNES	
					$\Delta h$ (cm)	$Q$ (l/sec.)
39,10	18,50	27,50	10,65	2,601	39,10	2,630
	45,50	30,46	11,60	2,625		
	37,50	29,64	11,20	2,646		
	12,40	27,28	10,30	2,648		
31,70	21,00	27,95	11,90	2,349	31,70	2,352
	42,00	30,10	12,90	2,333		
	18,80	27,73	11,70	2,370		
	33,10	29,19	12,40	2,354		
19,60	17,60	27,60	14,90	1,852	19,72	1,855
	44,50	30,35	16,30	1,862		
	19,85	33,00	15,60	1,870		
	29,60	28,83	15,70	1,836		
8,85	16,40	27,48	22,45	1,224	8,92	1,229
	14,70	27,31	22,20	1,230		
	0,00					
	36,40	29,52	23,90	1,233		
1,65	26,80	28,54	55,60	0,513	1,60	0,512
	20,25	27,88	54,40	0,512		
	1,55	25,90	28,45	0,512		
	28,30	28,70	56,00	0,512		

L'application de l'équation (16) nécessite la connaissance des paramètres suivants :

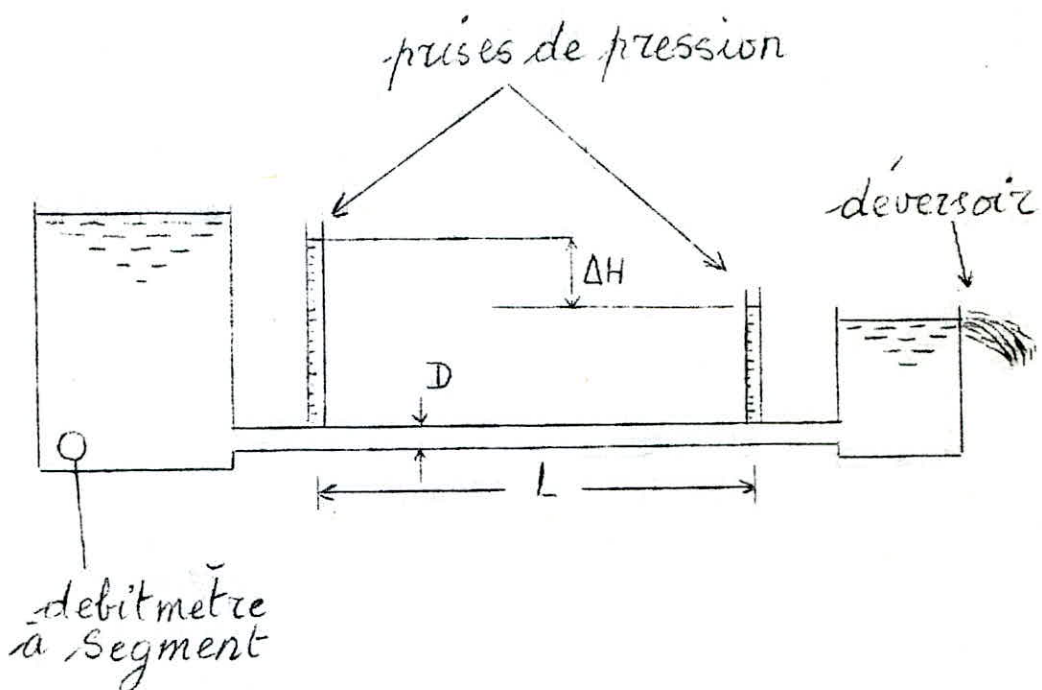
- le débit  $Q$ .
- la largeur du plan d'eau  $e$ .
- la section mouillée  $A$
- la pente géométrique  $J_u$  et le gradient de la perte de charge  $J$

Compte tenu du fait que le gradient de la perte de charge  $J$  est fonction de la rugosité équivalente des parois du canal, numériquement non disponible, nous avons jugé utile de la déterminer par le biais d'un dispositif simple.

### Présentation du dispositif

Il est entièrement conçu en plexiglass dont nous voulons la rugosité ; il est constitué d'un tube horizontal comportant deux prises de pression ; ce tube est alimenté par un réservoir en charge qui à son tour

est alimenté par le château d'eau du laboratoire. Le débit alimentant le réservoir est contrôlé par un débitmètre à segment à l'aval du dispositif et par un déversoir triangulaire à l'amont (voir figure ci-dessous) :



### détermination de la rugosité $\epsilon$

La dénivellation  $\Delta H$  lire sur les piezomètres représente la perte de charge linéaire se produisant sur le tronçon de longueur  $L$ . Étant donné le débit  $Q$ , le diamètre  $D$  du tube considéré l'équation de Darcy-WEISSBACH :

$$J = \frac{\Delta H}{L} = \frac{f}{D_h} \cdot \frac{v^2}{2g} \quad \text{ou}$$

$$D_h = D \quad \text{et} \quad v^2 = \left( \frac{Q}{A} \right)^2 = \frac{16 Q^2}{\pi^2 D^4},$$

nous donne le coefficient de frottement

$$f = \frac{\pi^2 g D^5}{8L} \cdot \frac{\Delta H}{Q^2}$$

Moyennant la formule de COLEBROOK, on tire l'expression de la rugosité  $\epsilon$  fonction du nombre de Reynolds et du coefficient de frottement  $f$ :

En effet :

$$f^{-1/2} = -0,86 \ln \left( \frac{\epsilon/D}{3,7} + \frac{2,51}{R \sqrt{f}} \right)$$

nous donne :

$$\epsilon = 3,7 \times D \left[ \exp \left( -\frac{1}{0,86 \sqrt{f}} \right) - \frac{2,51}{R \sqrt{f}} \right]$$

Le tableau de la page regroupe les calculs numériques de la rugosité  $\epsilon$  et des paramètres qui ont permis sa détermination ; ces paramètres ont été obtenus expérimentalement, moyennant

des débits variant de 1,00 l/s à 3,11 l/s correspondant à des valeurs du nombre de Reynolds allant de 20683 à 64324. Le diagramme de Moody nous permet de conclure que l'écoulement est en régime de transition, ce qui explique alors l'emploi de la formule de Colebrook.

Le tableau de mesures est donné à la page suivante.

$$\rho = 999,1026 \text{ kg/m}^3$$

$$v = 1,14 \cdot 10^{-6} \text{ m}^2 \text{s}^{-1} \quad \bar{\alpha} \quad \theta = 15^\circ\text{C}$$

débitmètre à Segment : 0,512 $Q = 0,402 \Delta h$		P.d.c	tube de diamètre D = 0,054 m				
$\Delta h$ (cm)	Q ( $\ell/s$ )	$\Delta H$ (cm)	v (m/s)	IR	f	E (mm)	
54,50	3,11	6,70	1,36	64324	0,021364	0,016747	
49,50	2,96	6,10	1,23	61221	0,021472	0,015605	
32,50	2,39	4,20	1,04	49432	0,022677	0,021169	
26,20	2,14	3,50	0,93	44261	0,023570	0,028842	
25,95	2,13	3,40	0,93	44054	0,023412	0,020380	
24,10	2,05	3,15	0,89	42400	0,023117	0,017535	
18,20	1,78	2,60	0,77	36816	0,025308	0,048113	
17,32	1,73	2,37	0,75	35781	0,024422	0,027586	
13,97	1,55	1,98	0,67	32058	0,025417	0,037736	
5,90	1,00	0,90	0,43	20683	0,027757	0,040462	

Remarque :

Le tableau ainsi constitué montre une certaine divergence dans les valeurs de la rugosité  $\epsilon$ ; ceci est du au fait que la rugosité  $\epsilon$  ne peut pas être mesurée avec précision. En effet, des calculs groupés dans le tableau de la page suivante, ont montré que pour une rugosité allant de  $\epsilon_1 = 10^{-6} \text{ m}$  à  $\epsilon_2 = 10\epsilon_1 = 10^{-5} \text{ m}$ , l'erreur relative sur le débit n'est que 2 %. Inversement, une erreur relative de 2 % sur le débit entraîne une variation, du simple au double, dans la rugosité  $\epsilon$ .

$$D = 0,054 \text{ m} ; \quad \nu = 1,14 \cdot 10^{-6} \text{ m}^2 \cdot \text{s}^{-1}$$

	$\Delta h \text{ (cm)}$	$Q_1 \text{ (l/s)}$ $\epsilon = 10^{-5} \text{ m}$	$Q_2 \text{ (l/s)}$ $\epsilon = 10^{-6} \text{ m}$	$Q \text{ mesuré}$ (l/s)	$Q_2 - Q_1$	$(Q_2 - Q_1)^2$
1	6,70	3,15	3,21	3,21	0,06	0,0036
2	6,10	2,99	3,04	3,05	0,05	0,0025
3	4,20	2,43	2,47	2,45	0,04	0,0016
4	3,50	2,20	2,23	2,19	0,03	0,0009
5	3,40	2,16	2,19	2,18	0,03	0,0009
6	3,15	2,07	2,10	2,10	0,03	0,0009
7	2,60	1,86	1,89	1,81	0,03	0,0009
8	2,37	1,77	1,79	1,77	0,02	0,0004
9	1,98	1,60	1,62	1,58	0,02	0,0004
10	1,20	1,21	1,22	1,21	0,01	0,0001
11	0,90	1,03	1,03	1,00	0,00	0,00

$$\sum (Q_2 - Q_1)^2 = 0,0122$$

$$\sigma = \sqrt{\frac{\sum (Q_2 - Q_1)^2}{n-1}} = 0,035 \quad (\text{avec } n=11 \text{ le nombre de mesures.})$$

$$Q_{\text{moyen}} = 2,06$$

$$\sigma_{\text{relative}} = \frac{\sigma}{Q_m} = \frac{0,035}{2,06} \approx 2 \%$$

## Choix de la rugosité moyenne

Parmi les valeurs des rugosités indiquées dans le tableau précédent, celle que nous choisissons pour le matériau utilisé (flexiglass) est celle qui satisfait aux mêmes conditions d'écoulement, aussi bien dans la conduite circulaire partiellement occupée de diamètre  $D'$ , destinée à notre étude, que dans le dispositif des pertes de charges linéaires, constitué du tube de diamètre  $D$ ; les conditions d'écoulement y sont les mêmes quand l'égalité des longueurs fluidodynamiques est satisfaite; ce se traduit par la relation :

$$\lambda = \frac{D_h}{D_{h_0}} = \frac{D}{D_0} \quad \text{d'où l'on tire :}$$

$$D_h = \frac{D}{D_0} \cdot D_{h_0}$$

L'application de la longueur fluidodynamique au nombre de Reynolds conduit à la relation :

$$R = \frac{4 \cdot Q}{P_0 \cdot \lambda} \cdot \frac{1}{\gamma}$$

avec  $Q = Q_{moyen} = 2,00 \text{ l/s}$

Avec une profondeur moyenne  $\bar{h} = \frac{k}{2}$  dans la conduite partiellement occupée, on détermine le paramètre de forme  $\xi = \frac{\bar{h}}{D}$ , et par suite les paramètres dimensionnels tels que :  $D_{h_0}$ ,  $A_0$ ,  $4/P_0$  :

$$D_{h_0} = 1,75 ; A_0 = 1,7 ; 4/P_0 = 1,02 \text{ pour } \xi = \frac{0,025}{0,194} = 0,134$$

Le paramètre dimensionnel du diamètre  $D$  est  $D_0 = 1,539$  (le tube étant plein)

$$\text{d'où : } \Lambda = \frac{0,054}{1,539} = 0,0351$$

$$\text{et } D_h = 0,0614$$

$$\text{d'où } R = 1,02 \times \frac{0,002}{0,0351} \times \frac{10^6}{1,14} = 50322 ,$$

Pour un nombre de Reynolds se rapprochant de la valeur  $R = 50982$ , le tableau précédent nous indique une valeur de l'ordre de 0,02 mm pour la rugosité  $\epsilon$ .

$$\text{En déterminant : } \epsilon/D_h = \frac{0,00002}{0,0614} \approx 0,000326$$

et avec la valeur du nombre de Reynolds, soit :  $R = 50000$ , on vérifie aisement sur le diagramme de Moody que le régime de l'écoulement est transitoire; l'écoulement est animé d'une vitesse moyenne  $V = \frac{R \cdot D}{D} = \frac{50.000 \times 1,14 \cdot 10^{-6}}{0,054} = 1,06 \text{ m/s}$  correspondant à un débit :  $Q = V \cdot A = 2,42 \text{ l/s}$ .

Etalonnage du déversoir triangulaire :

$$Q = 0,006 h^{2,409}$$

hauteur de la lame d'eau au-dessus de la crête.	graduations capacite jaugée.	volume correspondant	temps	débits	Moyennes	
$h$ (cm)	( cm )	$V$ (l)	$t$ (sec)	$Q$ ( $\frac{l}{sec}$ )	$\bar{h}$	$\bar{Q}$
12,90	21,70	28,02	10,50	2,669	12,88	2,691
12,85	19,60	27,81	10,25	2,713		
12,15	31,50	29,20	11,60	2,517	12,15	2,521
12,15	39,10	29,80	11,80	2,525		
11,50	21,00	27,95	12,80	2,218	11,48	2,204
11,45	17,50	27,60	12,60	2,190		
10,45	30,40	28,92	16,50	1,753	10,48	1,750
10,50	14,00	27,24	15,60	1,746		
10,05	20,10	27,86	17,80	1,565	10,05	1,559
10,05	34,50	29,33	18,90	1,552		
5,75	33,75	29,26	65,95	0,444	5,75	0,444
5,75	16,50	27,50	62,00	0,444		
6,70	25,90	28,45	55,60	0,512	6,70	0,512
6,70	28,30	28,70	56,00	0,512		
12,50	37,50	29,64	11,20	2,646	12,50	2,630
12,50	12,40	27,28	10,30	2,648		

Loi de variation de la rugosité en fonction du nombre de Reynolds.

Le trace' de la rugosité  $\epsilon$  en fonction du nombre de Reynolds  $R$ , en posant :

$$x = R \text{ et } y = \epsilon,$$

montre que la courbe est une hyperbole du type :

$x.y = C = \text{constante}$ , qui rappelle les courbes du diagramme de Moody. Disposant des valeurs numériques de  $\epsilon$  et de  $R$ , la constante  $C$  prend la valeur :

$$C = 989$$

Ainsi, la loi de variation des dits paramètres est donnée par :

$$\epsilon = \frac{989}{R}$$

## Conduite circulaire pleine.

Dans cette partie nous ne donnons qu'un programme, applicable au calculateur de poche du type TI 59, conçu pour la détermination complète des caractéristiques d'un écoulement en charge passant par une conduite circulaire. Le programme comporte deux parties distinctes suivant que l'écoulement étudié est en régime turbulent rugueux ou en régime de transition.

Pour le passage du régime turbulent rugueux au régime de transition, nous utilisons le coefficient de transition ( $\lambda$ ,  $\lambda_Q$  ou  $\lambda_J$ ). Le principe de calcul est celui de la résolution des trois principaux problèmes d'hydraulique à savoir: la recherche d'un des paramètres  $Q$ ,  $D$  et  $J$ , connaissant les deux autres.

A

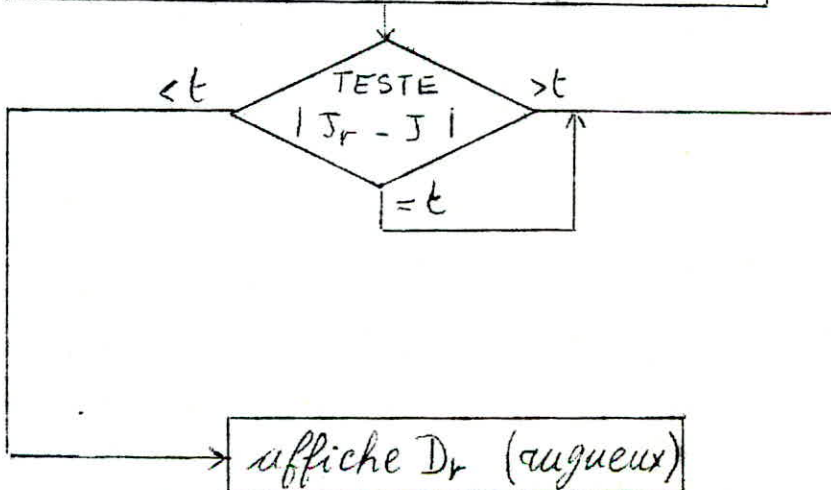
calcule et stocke :  $R = 4Q/\pi D^2$   
 $f_r = (1,14 - 0,86 \ln \epsilon/D)^{-2}$ ;  $J_r = f_r \times 0,082711 \frac{Q^2}{D^5}$   
 $\epsilon/D$  affiche  $J_r$  (turbulent rugueux)

B

calcule et stocke :  $R_r = 4Q_r/\pi D^2$   
avec  $Q_r = \left( \frac{12,0903 J D^5}{f_r} \right)^{1/2}$ ; affiche  $Q_r$

C

calcule et stocke :  
 $D_r = \left( \frac{J_r}{J} \right)^{0,19} \times D$  avec :  
 $J_r$  calcule en A et  $J = J_{réel}$ .  
calcule  $D$  pour  $J = J_r$



D

- calcule et stocke :

$$f = 12,0903 J \frac{D^5}{Q^2}; R = \frac{4Q}{\pi D^2}; E_r = D \cdot e$$

$$\frac{1,14 - 1/\sqrt{f}}{0,86}$$

E

- calcule et stocke :

$$f = \left[ -0,86 \ln \left( \frac{E_r}{D} \frac{2,51}{3,7} + \frac{1}{R \sqrt{f}} \right) \right]^{-2}$$

$$f_i = f_{i-1} \times \left( \frac{f_{i-2}}{f_{i-1}} \right)^{0,86}$$

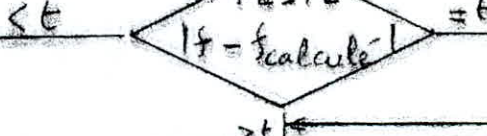
Séquence utilisée en sous programme pour le passage en transition.

2nd  
A'

E

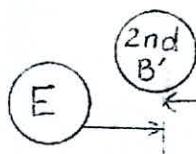
TESTE

$$| f = f_{\text{calculé}} |$$

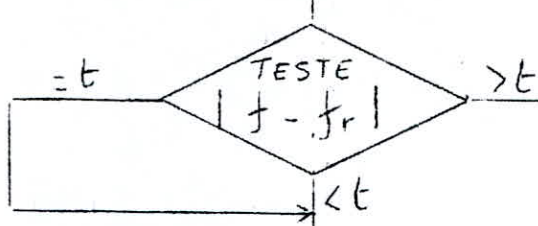


calcule  $J$  à l'aide de la relation :  $J = J \cdot \frac{f_{n-1}}{f_n}$

affiche  $J$  correspondant à  $f$  en transition.

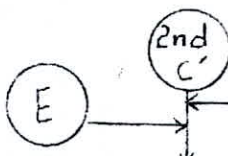


calcule et stocke :  $R = R_r \cdot (\frac{f_r}{f})^{1/5}$   
 $f$  : en transition calcule en E.

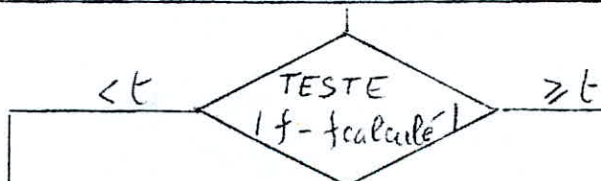


calcule et affiche le debit en transition :  

$$Q = Q_r \cdot \left(\frac{f_r}{f}\right)^{1/5}$$



calcule et stocke :  $\frac{\epsilon}{D} = \frac{\epsilon}{D_r} \cdot \left(\frac{f_r}{f}\right)^{1/5}$   
 $R = R_r \left(\frac{f_r}{f}\right)^{1/5}$



calcule et affiche :  
 $D = D_r \left(\frac{f_r}{f}\right)^{1/5}$  (transition)



calcule, stocke et affiche :

$$\epsilon = 3,7 \times D \left[ \exp\left(-\frac{1}{0,86\sqrt{f}}\right) - \frac{2,51}{IR\sqrt{f}} \right]$$

## Programme

2nd LBL A  $(4 \times RCL01 \div 2nd \pi \div RCL03 \div RCL00) STO 04 STO 14$   
 $(RCL05 \div RCL03) STO 11 STO 13 (RCL11 \ln x \times .86 - 1.14) x^2 \frac{1}{x}$   
 $STO 06 STO 07 (RCL06 \times .082711 \times RCL01 x^2 \div RCL03 y^2 5)$   
 $STO 09 INV SBR$

2nd LBL B A  $12.0903 \times RCL02 \times RCL03 y^2 5 \div RCL06 = \sqrt{x}$   
 $STO 21 \times 4 \div 2nd \pi \div RCL03 \div RCL00 = STO 04 STO 14 RCL$   
 $21 R/S$

2nd LBL C A  $RCL09 \div RCL02 = y^2 \cdot 19 \times RCL03 = STO 03 RCL$   
 $09 - RCL02 = 2nd |x| 2nd x \geq t C RCL03 STO 23 R/S$   
 2nd LBL D  $RCL02 \times RCL03 y^2 5 \times 12.0927 \div RCL01 x^2 =$   
 $STO 06 STO 07 4 \times RCL01 \div 2nd \pi \div RCL03 \div RCL00 = STO$   
 $04 STO 14 1.14 - RCL06 \sqrt{x} \frac{1}{x} = \div .86 = INV \ln x \times$   
 $RCL03 = STO 25 R/S$

2nd LBL E  $((2.51 \div RCL04 \div RCL06 \sqrt{x} + RCL11 \div 3.7) \ln x \times .86) x^2 \frac{1}{x} STO 08 ((RCL08 \div RCL06) y^2 .86 \times RCL$   
 $06) STO 06 INV SBR$

2nd LBL 2nd A' E  $RCL08 - RCL06 = \sqrt[2]{x} |x| 2nd x \geq t 2nd A'$   
 $RCL06 \div RCL07 = STO 10 \times RCL09 = STO 32 R/S$

2nd LBL 2nd B' E  $RCL07 \div RCL06 = \sqrt{x} STO 20 \times RCL14$   
 $= STO 04 RCL08 - RCL06 = 2nd |x| 2nd x \geq t 2nd B'$   
 $RCL20 \times RCL21 = STO 31 R/S$

2nd LBL 2nd C'E ((RCL 06 ÷ RCL 07) INV  $y^x$  5) STO 30  
 $\frac{1}{x} \times RCL 13 = STO 11$  RCL 14 ÷ RCL 30 = STO 04 RCL 08  
- RCL 06 = 2nd |x| 2nd  $x \geq t$  2nd C'RCL 30 ×  
RCL 23 = STO 33 R/S.

2nd LBL 2nd D' .86  $\frac{1}{x} \div RCL 06 \sqrt{x} = INV \ln x \frac{1}{x}$   
- 2,51 ÷ RCL 04 ÷ RCL 06 = × 3.7 × RCL 03 = STO 35  
R/S

## — CHAP IV —

Résultats expérimentaux  
et analyse des résultats

— Quand vous traitez de l'écoulement  
de l'eau, n'oubliez pas d'invoquer  
l'expérience, puis la raison —

Traité: Del Moto e misura  
dell'acqua

— Leonard de Vinci —

Rapports de similitude entre le modèle de diamètre  $D$  quelconque et le modèle de diamètre  $D = 1m$ .

---

En désignant par  $D$  le diamètre de la section circulaire étudiée et par  $D_1$  le diamètre égal à l'unité de longueur, la similitude géométrique se traduit par la relation :  $\frac{D}{D_1} = \lambda$

soit  $\lambda = D$ .

Ainsi, par application des lois de similitude de Reech-Froude, nous obtenons les rapports de toutes les caractéristiques de l'écoulement dans la section de diamètre  $D$  quelconque et dans la section de diamètre  $D_1$  :

$$\text{vitesses} : \lambda_v = \frac{v}{v_I} = \sqrt{\lambda} = \sqrt{D}$$

$$\text{temps} : \lambda_t = \frac{t}{t_I} = \sqrt{\lambda} = \sqrt{D}$$

$$\text{débits} : \lambda_Q = \frac{Q}{Q_I} = \lambda^{5/2} = D^{5/2}$$

$$\text{forces} : \lambda_F = \frac{F}{F_I} = \lambda_p \lambda^3 = D^3 \quad (\text{avec } \lambda_p = 1)$$

$$\text{pressions} : \lambda_p = \frac{P}{P_I} = \lambda_p \lambda = D \quad (\text{avec } \lambda_p = 1)$$

$$\text{puissances} : \lambda_P = \frac{P}{P_I} = \lambda_p \lambda^{7/2} = D^{7/2} \quad (\text{avec } \lambda_p = 1)$$

Rapports de similitude entre le modèle de diamètre  $D$  quelconque et le modèle de diamètre  $D_1 = 1\text{m}$ .

---

En désignant par  $D$  le diamètre de la section circulaire étudiée et par  $D_1$  le diamètre égal à l'unité de longueur, la similitude géométrique se traduit par la relation :  $\frac{D}{D_1} = \lambda$

soit  $\lambda = D$ .

Ainsi, par application des lois de similitude de Reech-Froude, nous obtenons les rapports de toutes les caractéristiques de l'écoulement dans la section de diamètre  $D$  quelconque et dans la section de diamètre  $D_1$  :

$$\text{vitesses : } \lambda_v = \frac{v}{v_1} = \sqrt{\lambda} = \sqrt{D}$$

$$\text{temps : } \lambda_t = \frac{t}{t_1} = \sqrt{\lambda} = \sqrt{D}$$

$$\text{débits : } \lambda_Q = \frac{Q}{Q_1} = \lambda^{5/2} = D^{5/2}$$

$$\text{forces : } \lambda_F = \frac{F}{F_1} = \lambda_p \lambda^3 = D^3 \text{ (avec } \lambda_p = 1)$$

$$\text{pressions : } \lambda_p = \frac{P}{P_1} = \lambda_p \lambda = D \text{ (avec } \lambda_p = 1)$$

$$\text{puissances : } \lambda_P = \frac{P}{P_1} = \lambda_p \lambda^{7/2} = D^{7/2} \text{ (avec } \lambda_p = 1)$$

## Choix de la Similitude applicable à notre étude

Dans notre cas et compte tenu des considérations citées précédemment, la similitude applicable est celle de Reech-Troude; en effet, l'écoulement est à surface libre et notre modèle est considéré, comme un ouvrage court tel que les forces dues à la viscosité soient négligeables par rapport à celles dues à l'inertie et à la pesanteur.

Cette loi de similitude est appliquée de façon particulière car l'échelle du modèle est la dimension même caractérisant ce modèle vu que l'étude théorique du ressort a été ramenée à un ouvrage de diamètre égal à l'unité de longueur dans le but de simplifier les relations reliant les paramètres hydrauliques recherchés.

Nous pouvons passer du modèle  $D = 1\text{m}$  au modèle  $D = 0,194\text{ m}$  (qui est le diamètre du modèle utilisé) en multipliant les caractéristiques déterminées pour  $D = 1\text{m}$  par l'échelle  $\lambda = D = 0,194$  pour les dimensions linéaires, par  $\lambda^{1/2}$  pour les vitesses etc... en application des formules de passage données à la page précédente.

conception et dimensionnement du modèle -

Le modèle a été conçu en plexiglass et dimensionné tel que les conditions d'écoulement répondent aux hypothèses de l'étude théorique présentée dans le chapitre II. Un calcul préliminaire pour un débit maximum de 4 l/s a donné les résultats suivants :

$D = 1m$	$D = 0,194 m$
$k_I = 0,26 \text{ m}$	$k = 0,05 \text{ m}$
$H_{k_I} = 0,35 \text{ m}$	$H_k = 0,068 \text{ m}$
$h_{t_I} = 0,08 \text{ m}$	$h_t = 0,015 \text{ m}$
$h_{r_I} = 0,671 \text{ m}$	$h_{r_I} = 0,130 \text{ m}$
$L_I = 4,137 \text{ m}$	$L = 0,80 \text{ m}$
	$J_{u_1} = 0,2$
	$J_{u_2} = 0,47$

Remarque : Cependant, lors du montage du modèle les pentes géométriques, ci-dessus indiquées, ont été légèrement modifiées de sorte que :

$$J_{u_1} = 0,168 ; J_{u_2} = 0,475 .$$

Les longueurs de chaque tronçon sont alors :  $L_1 = 67 \text{ cm} ; L_2 = 1,53 \text{ m} ; L_3 = 1,02 \text{ m}$ . Le modèle est représenté en annexe de l'étude à l'échelle 1/10.

MANIPULATION

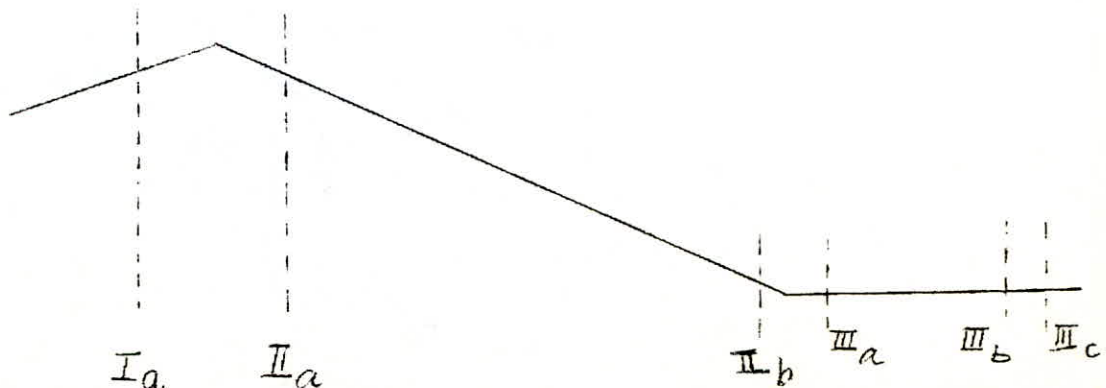
### Description de l'installation.

Le dispositif est relié au château d'eau du laboratoire par une prise à niveau constant, la charge est environ égale à 4 m.

L'eau arrivant du château passe par un convergent placé à l'amont d'un débitmètre à segment; le convergent permet d'augmenter la vitesse de l'eau à l'entrée du débitmètre en vue d'accroître son énergie cinétique par transformation de l'énergie potentielle. L'eau arrive dans le bassin d'alimentation après passage dans le débitmètre à segment, lequel est relié à un manomètre, pour rejoindre finalement le canal à travers un tranquillisateur.

L'expérience a consisté à mesurer le tirant d'eau le long du canal, particulièrement les profondeurs amont et avalé du ressaut, pour un débit déterminé. Du fait que le canal est entièrement fermé, la mesure directe de la charge totale n'a pas été possible; elle a été évaluée par un calcul mené à partir de la valeur du tirant d'eau, mesurée, en application de la relation :  $H = h + \alpha \frac{v^2}{2g}$  où  $\alpha$  est le facteur de correction de l'énergie cinétique, volontairement fixé égal à l'unité; nous avons en effet constaté qu'un écart de 5% sur le coefficient  $\alpha$ , n'entraîne qu'un écart de 2% sur la charge totale, pour une vitesse de 3 m/s considérée comme la valeur la plus défavorable dans l'écoulement étudié.

Le schéma ci-dessous indique, montre les différentes sections choisies de l'écoulement.



Pour chaque section, nous avons utilisé un système simple de prise de pression statique, constitué d'un collecteur relié à un tube piezométrique permettant de mesurer une valeur moyenne du tirant d'eau, à l'aide d'un régllet. (Un schéma de principe en est représenté en coupe B-B dans l'annexe). Ainsi, nous avons estimé en :

I<sub>a</sub> : la valeur de la profondeur fluviale sur le tronçon descendant ( $h_f$ ) .

II<sub>a</sub> : La valeur d'une profondeur torrentielle sur le capide.

III<sub>a</sub> : La profondeur torrentielle à l'amont du tessaut.

III<sub>b</sub> et III<sub>c</sub> : La profondeur conjuguée ( $h_r$ ) .

À l'extrémité aval du modèle, nous avons installé un dispositif de fermeture pour pouvoir fixer le niveau du plan d'eau aval du tessaut; Ceci nous a donné la possibilité de choisir une hauteur de seuil compatible avec l'existence d'un tessaut pour une série de cinq (5) débits (pris dans le sens croissant).

À partir de la profondeur mesurée, nous avons déterminé les paramètres hydrauliques

dans chaque section (largeur du plan d'eau, périmètre mouillé, section mouillée, vitesse, charge totale ...)

Les résultats expérimentaux ont été confrontés à ceux obtenus en application de la théorie moyennant les programmes de calcul présentés (détermination du profil en long de la surface libre, calcul du ressaut), résultats que nous consignons dans les tableaux suivants :

profil en long de la surface libre:

$$Q = 2,63 \text{ l/s} ; Q_I = 158,65 \text{ l/s}$$

$$k_I = 0,220672 \text{ m} ; k = 0,042810 ; \beta_u = 0,475$$

$\Sigma \Delta L \text{ cm}$	$N$	$h \text{ cm}$	$\Delta h/D$	$\zeta$
0,078	1	3,90	- 0,00515	0,198
0,187	2	3,80	- " -	0,193
0,331	3	3,70	- " -	0,188
0,515	4	3,60	- " -	0,183
0,745	5	3,50	- " -	0,177
1,280	6	3,40	- " -	0,172
1,370	7	3,30	- " -	0,167
1,780	8	3,20	- " -	0,162
2,280	9	3,10	- " -	0,157
2,880	10	3,00	- " -	0,152
3,590	11	2,90	- " -	0,147
4,440	12	2,80	- " -	0,141
5,450	13	2,70	- " -	0,136
6,660	14	2,60	- " -	0,131
8,110	15	2,50	- " -	0,126
9,850	16	2,40	- " -	0,121
11,900	17	2,30	- " -	0,116
14,60	18	2,20	- " -	0,110
17,70	19	2,10	- " -	0,105
21,60	20	2,00	- " -	0,100
26,50	21	1,90	- " -	0,095
32,90	22	1,80	- " -	0,090
41,10	23	1,70	- " -	0,085
52,10	24	1,60	- " -	0,0798
67,50	25	1,50	- " -	0,0747
90,00	26	1,40	- " -	0,0695
126,70	27	1,30	- " -	0,0644
156,50	28	1,25	- " -	0,0631
164,00	29	1,24	- " -	0,0636

$$\Delta h = 35,35 \text{ cm} ; Q = 2,5 \text{ l/s} ; k = 4,171 \text{ cm}$$

SECTION	Ia	IIa	IIIa	IIIb	IIIc
profondeur calculée (cm)	11,76	1,92	1,24	10,71	10,71
profondeurs mesurées - $h$ (cm)	12,10 12,00 12,15	1,95 1,95 1,90	1,25 1,20 1,25	10,65 10,55 10,60	10,70 10,75 10,65
profondeur moyenne (cm)	12,08	1,93	1,23	10,60	10,70
$\varphi (\text{rd})$	1,818	0,641	0,509	1,663	1,674
largeur du plan d'eau $e$ (cm)	18,80	11,61	9,45	19,31	19,29
périmètre mouillé - $P$ (cm)	13,28	12,45	9,87	32,27	32,47
Section mouillée $A$ ( $\text{cm}^2$ )	193,500	15,267	7,857	165,23	167,161
vitesse $v$ ( $\text{cm/s}$ )	12,92	163,74	318,18	15,13	14,95
charge totale $H = h + v^2/2g$ (cm)	12,16	15,60	52,88	10,71	10,81
charge totale calculée - (cm)	11,85	15,81	51,67	10,82	10,82

$$\Delta H = 42,12 \text{ cm}$$

$$\Delta H (\text{calculée}) = 40,85 \text{ cm}$$

longueur du tessaut :

$$L (\text{calculée}) = 66,29 \text{ cm}$$

$$L (\text{mesurée}) = 65,94 \text{ cm.}$$

$$\Delta h = 40,70 \text{ cm} ; Q = 2,63 \text{ l/s} ; k = 4,281 \text{ cm} .$$

SECTION	I <sub>a</sub>	II <sub>a</sub>	III <sub>a</sub>	III <sub>b</sub>	III <sub>c</sub>
profondeur calculée (cm)	12,00	1,98	1,26	11,08	11,08
profondeurs mesurées h (cm)	12,54 12,55 12,55	2,00 1,95 2,05	1,25 1,24 1,25	10,00 9,90 9,95	9,80 9,85 9,75
profondeur moyenne (cm)	12,54	2,00	1,24	9,95	9,80
$\Psi$ (zd)	1,868	0,653	0,512	1,596	1,581
largeur du plan d'eau e (cm)	18,55	11,79	9,49	19,39	19,39
périmètre mouillé - P (cm)	36,23	12,68	9,91	30,97	30,67
Section mouillée - A (cm <sup>2</sup> )	202,105	16,087	7,951	152,645	149,736
vitesse v (cm/s)	13,01	163,48	330,74	17,23	17,56
charge totale H = h + v <sup>2</sup> /2g (cm)	12,62	15,63	57,07	10,10	9,95
charge totale calculée (cm)	12,09	16,02	54,49	11,19	11,19

$$\Delta H = 47,045 \text{ cm}$$

$$\Delta H (\text{calculée}) = 43,30 \text{ cm}$$

Longueur du ressaut :

$$L (\text{-calculée}) = 68,74 \text{ cm}$$

$$L (\text{mesurée}) = 60,44 \text{ cm}$$

$$\Delta h = 42,40 \text{ cm} ; Q = 2,70 \text{ l/s} ; k = 4,339 \text{ cm}$$

SECTION	I <sub>a</sub>	II <sub>a</sub>	III <sub>a</sub>	III <sub>b</sub>	III <sub>c</sub>
profondeur calculée (cm)	12,36	2,01	1,30	10,90	10,90
profondeurs mesurées - h (cm)	12,60 12,55 12,65	2,00 2,05 2,00	1,30 1,25 1,30	10,85 10,85 10,80	10,80 10,85 10,80
profondeur moyenne (cm)	12,60	2,03	1,28	10,83	10,81
$\varphi (\text{rd})$	1,874	0,659	0,520	1,688	1,686
largeur du plan d'eau e (cm)	18,51	11,88	9,64	19,26	19,27
perimètre mouillé - P (cm)	36,36	12,79	10,09	32,74	32,71
Section mouillée - A ( $\text{cm}^2$ )	203,20	16,481	8,366	169,732	169,411
vitesse v ( $\text{cm/s}$ )	13,28	163,81	322,72	15,90	15,937
charge totale H = h + $v^2/2g$ (cm)	12,69	15,72	54,41	10,96	10,94
charge totale calculée - (cm)	12,45	16,17	52,64	11,02	11,02

$$\Delta H = 43,46 \text{ cm}$$

$$\Delta H (\text{calculé.}) = 41,42 \text{ cm}$$

Longueur du ressaut :

$$L (\text{-calculé}) = 67,20 \text{ cm} ; L (\text{mesuré}) = 66,78 \text{ cm}$$

$$\Delta h = 44,25 \text{ cm} ; Q = 2,75 \text{ l/s} ; k = 4,380 \text{ cm}$$

SECTION	Ia	IIa	IIIa	IIIb	IIIc
profondeur calculée (cm)	12,42	3,14	1,33	11,10	11,10
profondeurs mesurées $h$ (cm)	12,65 12,60 12,65	2,95 3,00 2,95	1,30 1,35 1,35	10,95 10,90 10,90	10,95 10,90 10,95
profondeur moyenne (cm)	12,63	2,96	1,33	10,91	10,93
$\Psi$ (rd)	1,878	0,802	0,523	1,696	1,698
largeur du plan d'eau $e$ (cm)	18,49	13,95	9,70	19,24	19,24
perimètre mouillé - $P$ (cm)	36,43	15,57	10,16	32,90	32,94
Section mouillée $A$ ( $\text{cm}^2$ )	203,823	28,498	8,527	171,209	171,594
vitesse $v$ ( $\text{cm/s}$ )	13,49	26,49	322,48	16,06	16,02
charge totale $H = h + v^2/2g$ (cm)	12,72	7,71	54,35	11,04	11,06
charge totale calculée (cm)	12,51	7,14	54,35	11,22	11,22

$$\Delta H = 43,30 \text{ cm}$$

$$\Delta H (\text{calculé}) = 43,13 \text{ cm}$$

Longueur du ressaut :

$$L (\text{calculé}) = 68,39 \text{ cm} ; L (\text{mesurée}) = 67,13 \text{ cm}$$

$$\Delta h = 47,10 \text{ cm} ; Q = 2,89 \text{ l/s} ; k = 4,493 \text{ cm}$$

<u>SECTION</u>	I <sub>a</sub>	II <sub>a</sub>	III <sub>a</sub>	III <sub>b</sub>	III <sub>c</sub>
profondeur calculée (cm)	12,82	3,26	1,36	11,42	11,42
profondeurs mesurées h (cm)	12,75 12,75 12,80	3,05 3,10 3,10	1,35 1,40 1,40	11,25 11,20 11,25	11,30 11,25 11,30
profondeur moyenne (cm)	12,76	3,08	1,38	11,23	11,28
$\Phi (\text{rd})$	1,892	0,819	0,540	1,729	1,734
largeur du plan d'eau e (cm)	18,40	14,18	9,98	19,15	19,14
perimètre mouillé P (cm)	36,71	15,90	10,48	33,55	33,64
Section mouillée A (cm <sup>2</sup> )	206,283	30,18	9,314	177,418	178,312
vitesse v (cm/s)	14,01	95,73	309,16	16,29	16,20
charge totale H = h + v <sup>2</sup> /2g (cm)	12,86	7,75	50,14	11,36	11,41
charge totale calculée (cm)	12,92	7,22	52,63	11,55	11,55

$$\Delta H = 38,755 \text{ cm}$$

$$\Delta H (\text{calculé}) = 41,08 \text{ cm}$$

Longueur du ressaut :

$$L (\text{calculé}) = 70,42 \text{ cm} ; L (\text{mesuré}) = 69,12 \text{ cm}$$

Paramètres du ressaut obtenu pour le débit :

$$Q = 0,00263 \text{ m}^3/\text{s} \quad (D = 19,4 \text{ cm})$$

Les paramètres à introduire dans le programme destiné au calcul du ressaut sont :

$$k_I = \frac{h_t}{D} = \frac{0,0126}{0,194} = 0,0649484 \text{ en mémoire 01.}$$

$$(k_I) = 0,20 \text{ (valeur approximative) en mémoire 06.}$$

$$Q_I = \frac{Q}{D^{2,5}} = \frac{0,00263}{(0,194)^{2,5}} = 0,158654 \text{ en mémoire 10.}$$

0,000001 (précision choisie) dans le registre T en appuyant sur la touche  $x \equiv t$ .

Les résultats donnés par le programme sont valable pour le diamètre  $D = 1\text{m}$ ; par application des lois de Similitude de Reech-Froude (cf rapports de Similitude) nous déduisons les paramètres relatifs au diamètre utilisé, soit  $D = 19,4 \text{ cm}$ .

Les résultats obtenus sont groupés dans le tableau de la page suivante.

$$Q = 0,00263 \text{ m}^3/\text{s} ; Q_I = 0,158654 \text{ m}^3/\text{s}$$

$$h_t = 0,0126 ; h_{t_I} = 0,0649484$$

$$k = 0,0428104 ; k_I = 0,22067$$

$$D = 1 \text{ m}$$

$$D = 0,194 \text{ m}$$

$$H_{k_I} = 0,298240$$

$$H_k = 0,057858$$

$$k_I = 0,220672$$

$$k = 0,0428104$$

$$Z_{t_I} = 0,119287$$

$$Z_t = 0,0008703$$

$$\varphi_{t_I} = 0,515384$$

$$\varphi_t = 0,515384$$

$$A_{t_I} = 0,0216343$$

$$A_t = 0,00081423$$

$$\bar{h}_{t_I} = 0,0261296$$

$$\bar{h}_t = 0,00506315$$

$$h_{r_I} = 0,571032$$

$$h_r = 0,11078027$$

$$\varphi_{r_I} = 1,713343$$

$$\varphi_r = 1,713343$$

$$\vartheta = 0,4625159$$

$$\vartheta = 0,4625159$$

$$A_{r_I} = 0,4634918$$

$$A_r = 0,037636$$

$$\bar{h}_{r_I} = 0,2454115$$

$$\bar{h}_r = 0,0220667$$

$$H_{t_I} = 2,308792$$

$$H_t = 0,5449057$$

$$H_{r_I} = 0,577010$$

$$H_r = 0,1119400$$

$$\Delta H_I = 2,2317819$$

$$\Delta H = 0,4329657$$

La longueur des rives est

$$L_I \leq 7 (h_{r_I} - h_{t_I}) = 3,542587$$

$$L = 0,687262$$

Remarques :

a) Le ressaut se manifeste dans tous les cas par un passage d'une profondeur d'eau inférieure à la profondeur critique k à une profondeur supérieure à celle-ci ; autrement dit le ressaut comporte un changement d'un régime d'écoulement torrentiel en régime tranquille (ou fluvial).

Les profondeurs d'eau conjuguées sont directement liées au nombre de Froude caractérisant l'écoulement à l'amont et à l'aval du ressaut.

$$F_a = \frac{v_a^2}{gh_a} \quad \text{et} \quad F_b = \frac{v_b^2}{gh_b}$$

Le nombre de Froude est supérieur à 1 à l'amont du ressaut et inférieur à 1 à l'aval.

Détermination des nombres de Froude pour les ressauts étudiés :

La détermination des nombres de Froude, que nous consignons dans le tableau ci-joint, montre le caractère de l'écoulement à l'amont et à l'aval du ressaut :

DEBIT HS SÉCTION	2,5	2,63	2,70	2,75	2,89
III <sub>a</sub>	83,89	90,017	83,026	79,786	70,674
III <sub>b</sub>	0,022	0,0304	0,0238	0,0241	0,0241

du point de vue dissipation d'énergie, suivant la valeur du nombre de Froude caractérisant l'écoulement à l'amont du ressaut; en effet, pour les quatre premiers débits considérés, l'écoulement à l'amont du ressaut est caractérisé par un nombre de Froude supérieur ou égal à 80 ( $\frac{V}{U} \geq 80$ ), ce qui permet de dire que les ressauts obtenus possèdent un bon rendement; la diminution de l'énergie atteint ou dépasse 80% de la chute totale. Pour le dernier débit considéré, soit  $Q = 2,89 \text{ l/s}$ , le nombre de Froude se situe dans l'intervalle (20; 80) correspondant à l'intervalle des ressauts en bonne condition; le ressaut est équilibré et son action est efficace.

Dans les tableaux de la page suivante, nous avons consigné le taux de dissipation de l'énergie des différents ressauts étudiés, ainsi que la puissance qu'ils dissipent.

On rappelle que la puissance dissipée est donnée par :

$$P = \frac{10^3 Q \cdot \Delta H}{75} \quad (\text{cv})$$

$Q$ l/s	$H$ (cm)	$\Delta H$ (cm)	$\frac{\Delta H}{H} \%$	$P$ (cv)
2,5	52,88	42,12	79,65	140,5
2,63	57,07	47,045	82,43	165
2,70	54,41	43,45	79,85	156,5
2,75	54,35	43,30	79,66	159
2,89	52,63	38,755	73,63	149

b) Une légère différence entre la valeur de la profondeur calculée et mesurée, entraîne un écart appréciable, surtout pour les grandes vitesses, entre les charges totales correspondantes.

### Hystéresis du ressaut :

Indépendamment des mesures faites, concernant la vérification de la théorie, nous avons observé le phénomène de disparition et de réapparition du ressaut dans les conditions suivantes :

- seuil incliné à l'aval du dispositif, de hauteur  $a_1 = 5,8 \text{ cm}$
- à débit croissant, le ressaut se déplace vers l'aval, acquiert une position instable pour disparaître enfin, en laissant place à un écoulement torrentiel pour un débit  $Q_1 = 1,7 \text{ l/s}$ ; le régime de l'écoulement est dit "catastrophique" caractérisé par un brusque accroissement de la vitesse et une importante force tractrice par conséquent.
- partant du régime catastrophique, nous avons fait décroître le débit et constaté que ce régime persiste; le ressaut ne se rétablit finalement que pour un débit  $Q_2 = 1,35 \text{ l/s} < Q_1$ ; le régime précédent reste "naturel", c'est à dire torcentiel à l'amont du ressaut et progressif à l'aval.

## Conclusion :

En réalisant cette expérience nous avons mis en évidence les résultats théoriques de l'étude d'un écoulement non uniforme.

Nous avons montré la possibilité de déterminer le profil en long de la surface libre d'un écoulement en régime de transition, compte tenu des pertes de charge linéaires, que le ressaut entraîne une dissipation considérable de l'énergie ; ceci justifie la présence volontaire de ce phénomène à l'aval des ouvrages d'évacuation de crues. Cependant l'existence du ressaut est conditionnée par la présence d'un écoulement torrentiel à l'amont, et fluvial à l'aval (condition pouvant être satisfaite par la mise en place d'un obstacle).

On trouve une application du ressaut dans les "partieus à ressaut" pour canaux d'irrigation, dans le module à masque ...

Enfin, en ce qui concerne le vaste domaine de l'expérimentation en laboratoire, il serait intéressant, du point de vue scientifique, d'étudier un autre écoulement, que l'on a pu observer à de très faibles débits : Il s'agit de l'écoulement en régime d'ondes.

